

# Segunda lista de questões - Mecânica Geral I

## Sugestões de respostas

1) a)

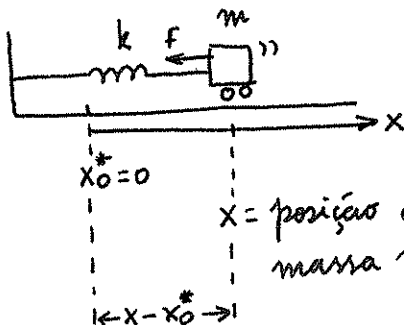


figura 1 :  $x_0^*$  = posição de  $m$  em que  $F=0$ .

Temos ao lado uma representação do oscilador harmônico (sistema massa-mola).

Tendo  $F = -k(x - x_0^*) = -kx$   
( $x_0^*$  = posição de equilíbrio  
= 0) a única força

atirante na massa, a 2ª lei de Newton exige

$$m \frac{dV}{dt} = m \frac{d^2x}{dt^2} = m \ddot{x} = -kx \Rightarrow m \ddot{x} + kx = 0 \quad (1).$$

Podemos dividir os dois lados da equação (1) por  $m$ :

$$\frac{m \ddot{x} + kx}{m} = \frac{0}{m} = 0 \Rightarrow \ddot{x} + \frac{k}{m} x = 0. \text{ Definindo } \omega_0^2 = \frac{k}{m},$$

temos então

$$\ddot{x} + \omega_0^2 x = 0 \quad (2).$$

Note que  $\omega_0$  não se refere a nada inicial, que seja fixado em  $t=0$ . De fato,  $\omega_0 = \sqrt{k/m}$  é o que podemos chamar de um parâmetro característico do sistema, isto é, dado um sistema massa-mola,  $\omega_0$  é fixo.

## 2.1.2

b) Propõe-se, como soluções de (2), que

$$x(t) = x_0 \cos \omega_0 t + \frac{v_0}{\omega_0} \sin \omega_0 t \quad (3)$$

com  $x_0$  e  $v_0$  fixos, seja a solução geral de (2). Para mostrar isto temos

$$\dot{x}(t) = -x_0 \omega_0 \sin \omega_0 t + \frac{v_0}{\omega_0} \omega_0 \cos \omega_0 t \quad (3a)$$

e

$$\ddot{x}(t) = -x_0 \omega_0^2 \cos \omega_0 t - \frac{v_0}{\omega_0} \omega_0^2 \sin \omega_0 t$$

$$= -x_0 \omega_0^2 \cos \omega_0 t - v_0 \omega_0 \sin \omega_0 t \quad (4).$$

(3) obedece a (2) ( $\ddot{x} + \omega_0^2 x = 0$ ) se, usando-se (4) e (3) para  $x = x(t)$ , (2) está satisfeita. De fato, usando (3) e (4),

$$\ddot{x} + \omega_0^2 x = \underbrace{-x_0 \omega_0^2 \cos \omega_0 t - v_0 \omega_0 \sin \omega_0 t}_{\ddot{x} \text{ por (4)}} + \underbrace{\omega_0^2 (x_0 \cos \omega_0 t + \frac{v_0}{\omega_0} \sin \omega_0 t)}_{x \text{ por (3)}} = 0.$$

Portanto, de fato, está verificado que (3) é solução de (2).

Até esse momento, não sabemos o que são  $x_0$  e  $v_0$ . Se escrevemos  $x_0 = \alpha$  e  $(v_0/\omega_0) = \beta$  a solução geral seria apenas  $x(t) = \alpha \cos \omega_0 t + \beta \sin \omega_0 t$  (5). Consideremos agora as seguintes condições iniciais:

$$x(t=0) = x_0 \quad (6), \quad \dot{x}(t=0) = v_0 \quad (7).$$

posição inicial

velocidade inicial.

2. 1. 3.

(colocando (6) em (5) temos

$$x(t=0) = \underbrace{\alpha \cos \omega_0 \cdot 0}_{\cos 0 = 1} + \underbrace{\beta \sin \omega_0 \cdot 0}_{\sin 0 = 0} = \alpha = x_0 \quad (8).$$

Por outro lado por (5), em analogia com (3a),

$$\dot{x}(t) = \frac{dx}{dt} = -\alpha \omega_0 \sin \omega_0 t + \beta \omega_0 \cos \omega_0 t \quad (9).$$

(colocando agora (7) em (9) temos

$$\dot{x}(t=0) = -\alpha \omega_0 \sin \omega_0 \cdot 0 + \beta \omega_0 \cos \omega_0 \cdot 0 = \beta \omega_0 = v_0 \Rightarrow \beta = \frac{v_0}{\omega_0} \quad (10).$$

Então, colocando em (5)  $\alpha$  e  $\beta$  dados por (8) e (10)

obtemos novamente a forma (3):

$$x(t) = x_0 \cos \omega_0 t + \frac{v_0}{\omega_0} \sin \omega_0 t,$$

e descobrimos que  $x_0$  = posição inicial e  $v_0$  = velocidade inicial. Lembre-se que  $\omega_0$  não é nada "inicial".

Observe, antes de seguir adiante, que  $x_0$  e  $v_0$ , as condições iniciais, fixam uma dada energia E para o movimento, dada a conservação de E:

$$E = \underbrace{\frac{m}{2} (\dot{x}(t))^2 + \frac{k}{2} (x(t))^2}_{\text{para qualquer instante}} = \frac{m}{2} v_0^2 + \frac{k}{2} x_0^2 = \text{energia inicial}$$

Podemos reservar E na forma

2.1.4

$$E = \frac{m}{2} (v_0^2 + \frac{k}{m} x_0^2) = \frac{m}{2} (v_0^2 + \omega_0^2 x_0^2) \quad (11).$$

$$\underbrace{\frac{m}{2} v_0^2 + \frac{k}{2} x_0^2}_{\text{multiplicação}} = \frac{m}{2} v_0^2 + \frac{m}{m} \frac{k}{2} x_0^2 = \frac{m}{2} v_0^2 + \frac{m}{2} \frac{k}{m} x_0^2 = \frac{m}{2} (v_0^2 + \frac{k}{m} x_0^2)$$

$$= \frac{m}{2} (v_0^2 + \frac{2}{m} \frac{k}{2} x_0^2)$$

multiplicação

do 2º termo pelo inverso ( $\frac{2}{m}$  no caso)

do que foi "colocado em evidência".

c) Se  $v_0 = 0$ , por conveniência,  $x(t) = x_0 \cos \omega_0 t$ . Para esboçar o gráfico basta tomar alguns valores de  $\omega_0 t$ :

$$\omega_0 t = 0 \quad (t = 0) \Rightarrow x(t = 0) = x_0 \cos 0 = 1 \quad (\text{I}) \quad \left( \begin{array}{c} \text{---} \\ \text{---} \\ \text{---} \\ \text{---} \\ \text{---} \end{array} \right) \theta = \omega_0 t = 0,$$

$$\omega_0 t = \frac{\pi}{2} \quad (t = \frac{\pi}{2\omega_0}) \Rightarrow x(t = \frac{\pi}{2\omega_0}) = x_0 \cos \frac{\pi}{2} = 0 \quad (\text{II}) \quad \left( \begin{array}{c} \text{---} \\ \text{---} \\ \text{---} \\ \text{---} \\ \text{---} \end{array} \right) \theta = \frac{\pi}{2},$$

$$\omega_0 t = \pi \quad (t = \frac{\pi}{\omega_0}) \Rightarrow x(t = \frac{\pi}{\omega_0}) = x_0 \cos \pi = -x_0 \quad (\text{III}) \quad \left( \begin{array}{c} \text{---} \\ \text{---} \\ \text{---} \\ \text{---} \\ \text{---} \end{array} \right) \theta = \pi,$$

$$\omega_0 t = \frac{3\pi}{2} \quad (t = \frac{3\pi}{2\omega_0}) \Rightarrow x(t = \frac{3\pi}{2\omega_0}) = x_0 \cos \frac{3\pi}{2} = 0 \quad (\text{IV}) \quad \left( \begin{array}{c} \text{---} \\ \text{---} \\ \text{---} \\ \text{---} \\ \text{---} \end{array} \right) \theta = \frac{\pi+3\pi}{2} = \frac{3\pi}{2},$$

$$\omega_0 t = 2\pi \quad (t = \frac{2\pi}{\omega_0}) \Rightarrow x(t = \frac{2\pi}{\omega_0}) = x_0 \cos 2\pi = x_0 \quad (\text{V}) \quad \left( \begin{array}{c} \text{---} \\ \text{---} \\ \text{---} \\ \text{---} \\ \text{---} \end{array} \right) \theta = 2\pi.$$

Note que, para referência, foram indicados os valores de  $\omega_0 t$  em questão no círculo trigonométrico. Com os pontos acima, podemos esboçar o gráfico pedido. Temos a figura abaixo.

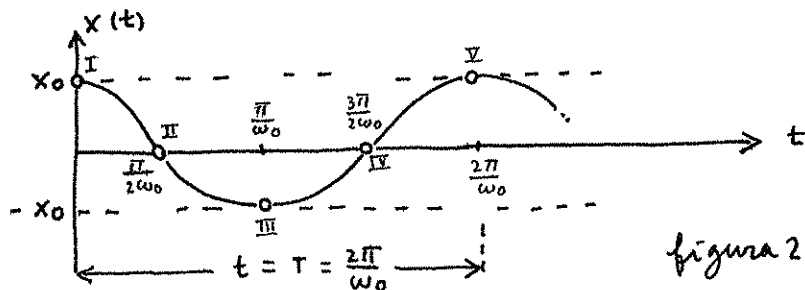


figura 2

na figura 2 os pontos I, II, III, IV e V correspondem aos que foram acima calculados.

2.1.5

A figura 2 torna evidente que  $x(0) = x(T = \frac{2\pi}{\omega_0})$ , isto é, que  $x(t)$  é uma figura que vai se repetindo com período  $T$ . Portanto provamos que  $T = \frac{2\pi}{\omega_0} = 2\pi\sqrt{\frac{m}{k}}$  depende apenas dos parâmetros do sistema (massa  $m$  e constante  $k$ ) e não das condições iniciais. Um gráfico com  $v_0 \neq 0$  não mudaria esse resultado.

d) Fazemos

$$\begin{aligned} x &= A \cos(\omega_0 t - \phi) = A [\cos \omega_0 t \cos \phi + \sin \omega_0 t \sin \phi] \\ &= (A \cos \phi) \cos \omega_0 t + (A \sin \phi) \sin \omega_0 t \quad (12). \end{aligned}$$

Por comparação com  $x = x_0 \cos \omega_0 t + \frac{v_0}{\omega_0} \sin \omega_0 t$  temos

$$A \cos \phi = x_0 \quad (13)$$

$$\text{e } A \sin \phi = \frac{v_0}{\omega_0} \quad (14).$$

$\phi$  e  $A$  (fase e amplitude, respectivamente) se obtém de (13) e (14). "Dividindo-se" (14) por (13) temos

$$\begin{aligned} \frac{A \sin \phi}{A \cos \phi} &= \frac{x_0}{\frac{v_0}{\omega_0}} \Rightarrow \tan \phi = \frac{x_0 \omega_0}{v_0} \text{ ou } \phi = \arctan \left( \frac{x_0 \omega_0}{v_0} \right) \\ &= \tan^{-1} \left( \frac{x_0 \omega_0}{v_0} \right) \quad (15). \end{aligned}$$

Por (13) e (14) temos  $\cos \phi = \frac{x_0}{A}$  e  $\sin \phi = \frac{v_0}{A \omega_0}$ . Como  $\cos^2 \phi + \sin^2 \phi = 1$ , obtemos  $\left(\frac{x_0}{A}\right)^2 + \left(\frac{v_0}{A \omega_0}\right)^2 = 1 \Rightarrow x_0^2 + \frac{v_0^2}{\omega_0^2} = A^2$ , ou  $A = \sqrt{x_0^2 + \frac{v_0^2}{\omega_0^2}}$   $\quad (16)$ .

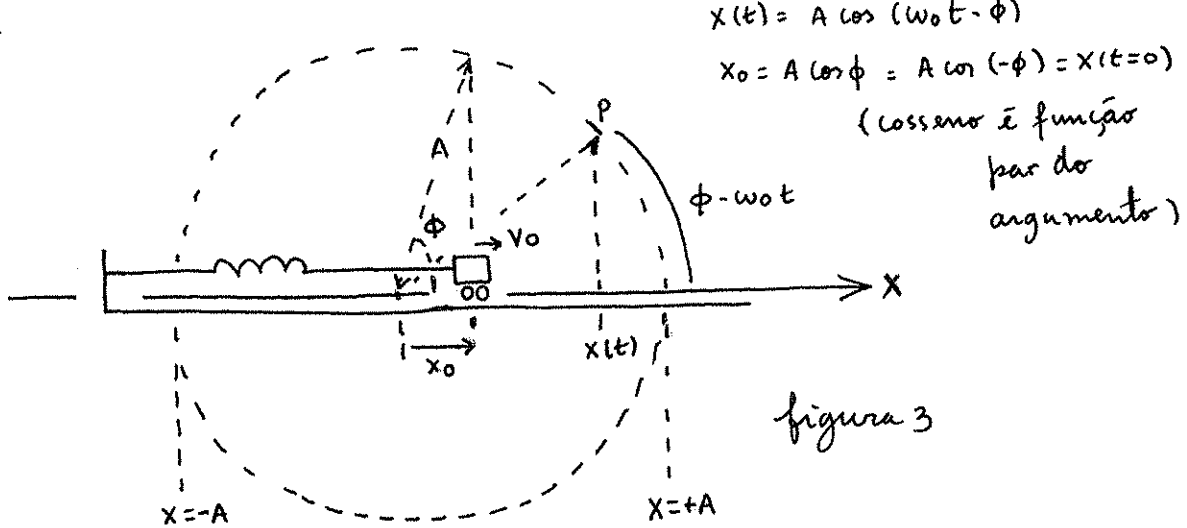
Observe que, como o máximo valor de  $\cos(\omega_0 t - \phi)$  é 1,  $A$  é o valor máximo de  $x$ . De forma

2.1.6

semelhante, o menor valor possível de  $\cos(\omega_0 t - \phi)$  é -1 e o valor mínimo de  $x$  é  $-A$ . Então o corpo oscila entre as posições  $x = -A$  e  $x = +A$ . Por (12),

$$\dot{x}(t) = -A \omega_0 \sin(\omega_0 t - \phi) \quad (17).$$

Em concordância com o que dissemos,  $x = +A$  quando  $\omega_0 t - \phi = 0, 2\pi, 4\pi, \dots, 2\pi n$ , com  $n = 0, 1, 2, \dots$ , pois nesse caso (nesses instantes),  $\cos(\omega_0 t - \phi) = 1$ . Mas observe que nessas circunstâncias  $\sin(\omega_0 t - \phi) = \sin(2\pi n) = 0$ . Portanto, por (17), quando  $x = +A$ ,  $\dot{x}(t) = -A \omega_0 \cdot 0 = 0$ . Da mesma forma,  $x = -A$  quando  $\omega_0 t - \phi = \pi, 3\pi, 5\pi, \dots, (2n+1)\pi$ , com  $n = 0, 1, 2, \dots$ , pois nesse caso  $\cos(\omega_0 t - \phi) = -1$ . Como  $\sin[(2n+1)\pi] = 0$ ,  $\dot{x} = 0$  também em  $x = -A$ . Então os pontos  $x = \pm A$  são pontos de velocidade nula: pontos de retorno. Abaixo, uma figura representativa disso.



2.1.7

Na figura 3 foi traçado um círculo de referência, imaginário limitando o movimento real, que ocorre no eixo  $x$ . Uma condição inicial foi representada.  $x(t)$  aparece como uma projeção do ponto  $P$ , imaginário, na circunferência. Esse ponto  $P$  realiza movimento circular uniforme com velocidade angular  $\omega_0$ .  $x = \pm A$  são os pontos de retorno, de velocidade nula.

Observe que  $A = \sqrt{x_0^2 + \frac{v_0^2}{\omega_0^2}}$  (16) pode ser colocado em termos da energia  $E$  do movimento por (11) :

$$E = \frac{m}{2} (v_0^2 + \omega_0^2 x_0^2). \text{ Temos}$$

$$E = \frac{m}{2} \omega_0^2 \left( \frac{v_0^2}{\omega_0^2} + x_0^2 \right) = \frac{m \omega_0^2}{2} A^2 = \frac{k}{2} A^2 \text{ por } \omega_0^2 = \frac{k}{m}.$$

Então  $A = \sqrt{2E/m\omega_0^2}$  (18). Esse resultado se obtém também considerando os pontos de retorno  $x = \pm A$ , em que  $\dot{x} = 0$ , por onde temos  $E = \frac{m}{2}(\dot{x})^2 + \frac{kx^2}{2} = \frac{m}{2}(0)^2 + \frac{kA^2}{2}$   
 $\Rightarrow E = \frac{kA^2}{2}$  para  $x = \pm A$ .

e) Como  $e^{i\theta} = \cos \theta + i \sin \theta$  e  $e^{-i\theta} = e^{i(-\theta)} = \cos(-\theta) + i \sin(-\theta) = \cos \theta - i \sin \theta$  ( $\cos(-\theta) = \cos \theta$  (cosseno é par),  $\sin(-\theta) = -\sin \theta$  (seno é ímpar)) temos

$$\begin{aligned} x(t) &= a e^{i\omega_0 t} + b e^{-i\omega_0 t} \\ &= a (\cos \omega_0 t + i \sin \omega_0 t) + b (\cos \omega_0 t - i \sin \omega_0 t) \\ &= (a+b) \cos \omega_0 t + i(a-b) \sin \omega_0 t \quad (19). \end{aligned}$$

Agora, (19) equivale a (3),  $x = x_0 \cos \omega_0 t + \frac{v_0}{\omega} \sin \omega_0 t$ , se

$$a+b = x_0 \quad (20)$$

$$i(a-b) = \frac{v_0}{\omega_0} \Rightarrow a-b = \frac{1}{i} \frac{v_0}{\omega_0} = \underbrace{\frac{1}{i}}_{\omega} \underbrace{\frac{i}{i}}_{=1} \frac{v_0}{\omega_0} = -i \frac{v_0}{\omega_0} \quad (21).$$

$i \cdot i = i^2 = -1$

Então o sistema (20), (21) se resolve para a e b:

$$a = \frac{1}{2} \left( x_0 - i \frac{v_0}{\omega_0} \right) \quad e \quad b = \frac{1}{2} \left( x_0 + i \frac{v_0}{\omega_0} \right).$$

Observe que  $b = a^*$  ( $b$  é o complexo conjugado de  $a$ ).

Se  $z = a+ib = R e^{i\theta}$  ( $R = \sqrt{a^2+b^2}$ ,  $\operatorname{tg}\theta = b/a$ ),  $z^* = a-ib = R e^{-i\theta}$ )

f) Se  $E = \frac{m}{2}(\dot{x})^2 + \frac{k}{2}x^2 = \frac{m}{2}(\dot{x})^2 + \frac{m\omega_0^2}{2}x^2$ , podemos pensar numa curva no espaço  $(x, \dot{x})$ , o espaço de fases. Reescrevemos a conservação da energia na forma

$$\frac{m}{2E}(\dot{x})^2 + \frac{k}{2E}x^2 = 1 \quad \text{ou} \quad \frac{(\dot{x})^2}{\left(\frac{2E}{m}\right)} + \frac{x^2}{\left(\frac{2E}{k}\right)} = 1 \quad (22) \quad \text{e vemos}$$

portanto que isso, dado um  $E$ , é uma elipse no plano de fases. Veja a figura 4.

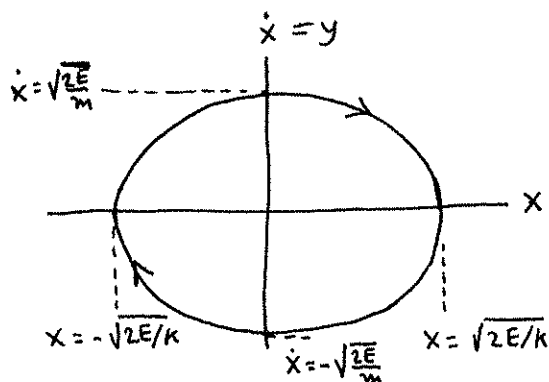


figura 4

2.1.9

Para compreender as setas no diagrama de fases (figura (4)), defina  $y = \dot{x}$ . Nesse caso a equação do oscilador fica  $\ddot{x} = -\omega_0^2 x \Rightarrow \dot{y} = -\omega_0^2 x$ . Isto então equivale a um par de equações:

$$y = \dot{x} \quad (23),$$

$$\dot{y} = -\omega_0^2 x \quad (24).$$

Tome por exemplo um ponto, sobre a curva no diagrama, no primeiro quadrante ( $x > 0, y = \dot{x} > 0$ ). Pela equação (24), isto exige  $\dot{y} < 0$ , ou seja,  $\dot{y}$  diminuindo. É precisamente isso o que a seta representa. A análise pode ser estendida para outros quadrantes.

A conservação da energia permite a integração imediata do movimento. Temos

$$\frac{m}{2} \left( \frac{dx}{dt} \right)^2 + \frac{m\omega_0^2}{2} x^2 = E \Rightarrow \left( \frac{dx}{dt} \right)^2 = \frac{2}{m} \left( E - \frac{m\omega_0^2}{2} x^2 \right)$$

$$\Rightarrow \frac{dx}{dt} = \sqrt{\frac{2E}{m} - \omega_0^2 x^2} \quad (25), \text{ eliminando por hora a raiz negativa. De (25) temos}$$

$$\frac{dx}{\sqrt{\frac{2E}{m} - \omega_0^2 x^2}} = dt \Rightarrow \int_{x_0}^x \frac{dx}{\sqrt{\frac{2E}{m} - \omega_0^2 x^2}} = \int_0^t dt = t \quad (26).$$

Temos

$$\int \frac{dx}{\sqrt{\frac{2E}{m} - \omega_0^2 x^2}} = \int \frac{dx}{\sqrt{\omega_0^2 \left( \frac{2E}{m\omega_0^2} - x^2 \right)}} = \frac{1}{\omega_0} \int \frac{dx}{\sqrt{\frac{2E}{m\omega_0^2} - x^2}} \quad (27).$$

2.1.10

A integral em (27) pode ser reescrita na forma

$$\int \frac{dx}{\sqrt{A^2 - x^2}} = -\arcsin\left(\frac{x}{A}\right) \quad (28), \text{ com } A^2 = \frac{2E}{m\omega_0^2} \quad (29), \text{ porque}$$

no caso do oscilador harmônico E é sempre positiva, como é  $\omega^2$ , já que  $E = (m/2)v^2 + (k/2)x^2 = \text{soma de termos positivos. Voltando com (28) a (27) temos}$

$$\int \frac{dx}{\sqrt{\frac{2E}{m} - \omega_0^2 x^2}} = -\frac{1}{\omega_0} \arcsin\left(\frac{x}{A}\right).$$

Então (26) fica

$$-\frac{1}{\omega_0} \arcsin\left(\frac{x}{A}\right) + \frac{1}{\omega_0} \arcsin\left(\frac{x_0}{A}\right) = t \Rightarrow \arcsin\left(\frac{x}{A}\right) = -\omega t + \arcsin\left(\frac{x_0}{A}\right).$$

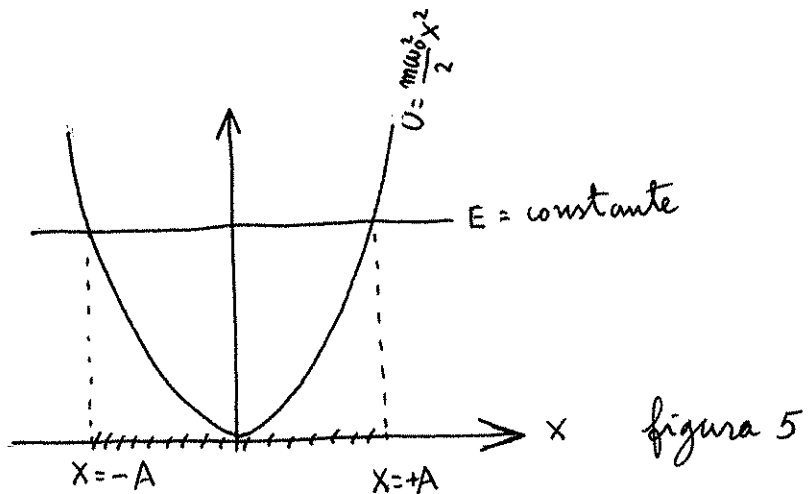
chamando  $\phi = \arcsin\left(\frac{x_0}{A}\right)$ , temos

$$\arcsin\left(\frac{x}{A}\right) = \phi - \omega t \Rightarrow \cos(\phi - \omega t) = \cos(\omega t - \phi) = \frac{x}{A} \Rightarrow x = A \cos(\phi - \omega t) \quad (30).$$

Note a analogia completa entre (30) e (12), e também entre (29) e (18).

Outra análise é possível pelo uso da energia do oscilador, seguindo o caminho da questão 17, problema 2.43 do livro TM. No caso do oscilador, como vimos, E é sempre positiva. Levantamos, para uma dada energia E, os gráficos de  $V(x) = \frac{1}{2}kx^2$  e  $E(x) = E = \text{constante}$ . A figura 5 dá um exemplo.

2.1.11



$$\text{Tenho } E = U + \frac{m}{2} v^2 \Rightarrow \frac{mv^2}{2} = E - U. \text{ Como } \frac{mv^2}{2} \geq 0$$

necessariamente,  $E - U \geq 0 \Rightarrow E \geq U$  para todas as posições  $x$  acessíveis com energia  $E$ . Por isso, apenas a região hachurada em  $x$ ,  $-A \leq x \leq A$  é acessível.  $x = -A$  e  $x = +A$ , pontos de velocidade nula, são os pontos de retorno para a energia  $E$ .

$$g) L = \frac{m}{2} (\dot{x})^2 - \frac{1}{2} m \omega_0^2 x^2 = L(x, \dot{x}). \text{ Então}$$

$$\frac{\partial L}{\partial \dot{x}} = \frac{m}{2} \frac{\partial (\dot{x})^2}{\partial \dot{x}} = \frac{m}{2} 2\dot{x} = m\dot{x} \quad (31)$$

$$e \frac{\partial L}{\partial x} = -\frac{1}{2} m \omega_0^2 \frac{\partial x^2}{\partial x} = -m \omega_0^2 x \quad (32).$$

$$\text{De (31), } \frac{d}{dt} \left( \frac{\partial L}{\partial \dot{x}} \right) = \frac{d}{dt} (m\dot{x}) = m\ddot{x}, \text{ e se}$$

$$\frac{d}{dt} \left( \frac{\partial L}{\partial x} \right) = \frac{\partial L}{\partial x}, \text{ temos}$$

$$m\ddot{x} = -m \omega_0^2 x \Rightarrow \ddot{x} + \omega_0^2 x = 0 \quad (33).$$

2.2.1

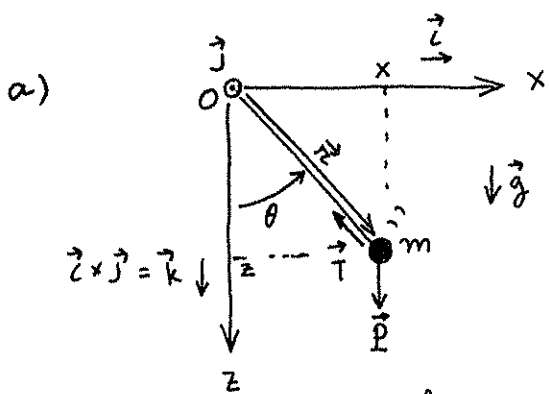


figura 1

Às lado temos a geometria da situação.  $|\vec{r}| = l =$  comprimento do pêndulo = constante.

É necessário tomar

$$V = -mgz = -mgl \cos\theta \quad (1),$$

se  $V=0$  na origem, porque  $z$  foi escolhido "para baixo", caso em que  $\vec{P} = mg\hat{k}$ . Para isso ser compatível com  $\vec{P} = -\frac{\partial V}{\partial z}\hat{k}$   $V(z)=V$  deve ter a expressão (1).

Temos  $\vec{r} = x\hat{i} + z\hat{k} = l \sin\theta \hat{i} + l \cos\theta \hat{k}$  (2), de onde

$$\vec{v} = \frac{d\vec{r}}{dt} = l\dot{\theta} \cos\theta \hat{i} - l\dot{\theta} \sin\theta \hat{k} \quad (3) \text{ e } \vec{a} = \frac{d\vec{v}}{dt} = \frac{d^2\vec{r}}{dt^2} = l\ddot{\theta} \cos\theta \hat{i}$$

$$-l\ddot{\theta}^2 \sin\theta \hat{i} - l\ddot{\theta} \sin\theta \hat{k} - l\ddot{\theta}^2 \cos\theta \hat{k} :$$

$$\vec{a} = l(\ddot{\theta} \cos\theta - \dot{\theta}^2 \sin\theta) \hat{i} - l(\ddot{\theta} \sin\theta + \dot{\theta}^2 \cos\theta) \hat{k} \quad (4).$$

Obter a energia cinética é também um resultado interessante. Por (3),

$$T = \frac{m}{2} \vec{v}^2 = \frac{m}{2} \vec{v} \cdot \vec{v} = \frac{m}{2} [l^2 \dot{\theta}^2 \cos^2\theta + l^2 \dot{\theta}^2 \sin^2\theta] = \frac{m}{2} l^2 \dot{\theta}^2 \quad (5),$$

resultado que poderia ter sido antecipado usando-se, para a rotação,  $T = \frac{I}{2} \omega^2 = \frac{I}{2} (\dot{\theta})^2 = \frac{ml^2}{2} (\dot{\theta})^2$ .

As forças são  $\vec{P} = mg\hat{k}$  e  $\vec{T} = -T \sin\theta \hat{i} - T \cos\theta \hat{k}$  (6).

Podemos montar agora as equações do movimento.

a1) Leis de Newton ( $m \frac{d^2\vec{r}}{dt^2} = \vec{P} + \vec{T}$ ). Por (4) e (6)

$$m l (\ddot{\theta} \cos\theta - \dot{\theta}^2 \sin\theta) \hat{i} - m l (\ddot{\theta} \sin\theta + \dot{\theta}^2 \cos\theta) \hat{k} = -T \sin\theta \hat{i} + (mg - T \cos\theta) \hat{k},$$

de onde

$$ml(\ddot{\theta} \cos\theta - \dot{\theta}^2 \sin\theta) = -T \sin\theta \quad (7)$$

$$-ml(\ddot{\theta} \sin\theta + \dot{\theta}^2 \cos\theta) = mg - T \cos\theta \quad (8)$$

Por "sorte" é possível eliminar, de uma só vez,  $\dot{\theta}^2$  e  $T$ . Multiplicamos a primeira equação por  $\cos\theta$

$$ml\ddot{\theta} \cos^2\theta - ml\dot{\theta} \sin\theta \cos\theta = -T \sin\theta \cos\theta \quad (9)$$

e a segunda por  $-\sin\theta$ ,

$$ml\ddot{\theta} \sin^2\theta + ml\dot{\theta}^2 \sin\theta \cos\theta = -mg \sin\theta + T \sin\theta \cos\theta \quad (10).$$

Somando (9) e (10) termos

$$ml\ddot{\theta} (\cos^2\theta + \sin^2\theta) = -mg \sin\theta \Rightarrow ml\ddot{\theta} + mg \sin\theta = 0$$

$$\Rightarrow \ddot{\theta} + \frac{g}{l} \sin\theta = 0 \quad (11)$$

(Nota: há formas mais espetaculares de obter (11) com leis de Newton)

Ocorre agora que, em (11),  $\sin\theta = \theta - \frac{\theta^3}{3!} + \dots$ . Se  $\theta$  é suficientemente pequeno,  $\sin\theta \approx \theta$  ( $\theta$  em radianos), com

o que

$$\ddot{\theta} + \frac{g}{l} \theta = 0 \quad (12)$$

é a aproximação para (11). Por analogia com o oscilador harmônico esperamos que (12) represente movimentos periódicos de  $\theta$  com frequência  $\omega_0 = \sqrt{\frac{g}{l}}$  e período

$$T = \frac{2\pi}{\omega_0} = 2\pi \sqrt{\frac{l}{g}}.$$

2.2.3

a2)  $\vec{N} = \frac{d\vec{L}}{dt}$ . É "fácil" perceber que  $\vec{T}$  não nos dá torque em relação a 0, e que o torque da força peso é  $\vec{N}_P = \vec{r} \times \vec{P} = -|\vec{r}| |\vec{P}| \sin\theta \hat{j} = -mg l \sin\theta \hat{j}$  (por que?).

11

Torque em relação a 0, e que o torque da força peso é

$$\vec{N}_P = \vec{r} \times \vec{P} = -|\vec{r}| |\vec{P}| \sin\theta \hat{j} = -mg l \sin\theta \hat{j}$$
 (por que?).

Vamos agora nos aproveitar de  $\vec{L} = I\vec{\omega} = ml^2 \ddot{\theta} \hat{j}$ . Então

$$\vec{N} = \frac{d\vec{L}}{dt} \Rightarrow -mg l \sin\theta \hat{j} = ml^2 \ddot{\theta} \hat{j} \Rightarrow \ddot{\theta} + \frac{g}{l} \sin\theta = 0,$$

equação completamente equivalente a (11).

a3)  $\frac{d}{dt} \left( \frac{\partial L}{\partial \dot{\theta}} \right) = \frac{\partial L}{\partial \theta} . \quad L = T - U = \frac{ml^2}{2} (\dot{\theta})^2 + mg l \cos\theta,$

por (1) e (5). Então

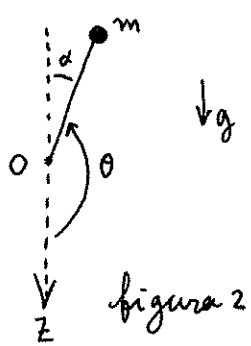
$$\frac{\partial L}{\partial \dot{\theta}} = \frac{ml^2}{2} \frac{\partial (\dot{\theta}^2)}{\partial \dot{\theta}} = ml^2 \dot{\theta} ; \frac{d}{dt} \left( \frac{\partial L}{\partial \dot{\theta}} \right) = ml^2 \ddot{\theta}$$

$$\frac{\partial L}{\partial \theta} = -mg l \sin\theta ,$$

e ficamos com  $ml^2 \ddot{\theta} = -mg l \sin\theta \Rightarrow \ddot{\theta} + \frac{g}{l} \sin\theta = 0$ , equação equivalente a (11).

b) Estude a seção 4.4 de TM.

c)



A figura ao lado mostra o pêndulo nas proximidades de  $\theta = \pi$  (de pequeno).  $\theta = \pi$  é um ponto de equilíbrio instável do problema, isto é, se deixado em  $\theta = \pi$ ,

qualquer pequena perturbação "derubará" o pêndulo. A equação (11) continua válida, mas é interessante reescrevê-la em termos de  $\alpha = \pi - \theta$ , ou

## 2.2.4

$$\theta = \pi - \alpha :$$

$$\ddot{\theta} + \frac{g}{l} \sin \theta = 0 \Rightarrow \underbrace{\frac{d^2}{dt^2}(\pi - \alpha)}_{= -\ddot{\alpha}} + \frac{g}{l} \sin(\pi - \alpha) = 0 ,$$

$\underbrace{\phantom{...}}_{= \sin \alpha}$

O que nos dá

$$\ddot{\alpha} - \frac{g}{l} \sin \alpha = 0 \quad (13)$$

Vejamos que se  $\alpha$  é pequeno ( $\sin \alpha \approx \alpha$ ) obtemos uma equação muito diferente da do oscilador harmônico,

$$\ddot{\alpha} - \omega_0^2 \alpha = 0 \quad (14) \quad (\omega_0^2 = \frac{g}{l}) ,$$

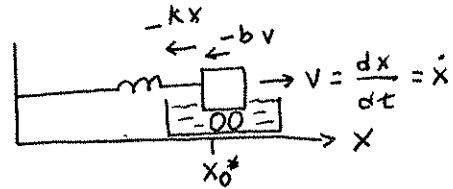
com soluções, agora,

$$\alpha(t) = A e^{i\omega_0 t} + B e^{-i\omega_0 t} \quad (15).$$

Na medida em que  $t$  cresce, (15) implica que  $\alpha(t)$  é dominada pelo primeiro termo,  $A e^{i\omega_0 t}$  e  $\alpha(t)$  cresce com o tempo sem movimento oscilatório, isto é, (15) não é uma função periódica.

2.3.1

Ao lado temos um esquema da



situação, em que ao sistema massa mola acrescentamos o efeito

figura 1, b e k constantes

do atrito do corpo com um fluido, representado pela força  $-b v$ , com  $b$  constante. A segunda lei de Newton nos dá

$$m \ddot{x} = -kx - bv \Rightarrow \ddot{x} + \frac{k}{m}x + \frac{b}{m}\dot{x} = 0 \quad (1).$$

Em (1) é conveniente fazer  $\frac{k}{m} = \omega_0^2$  (2) e  $\frac{b}{m} = 2\beta$  (3), com o que (1) fica

$$\ddot{x} + \omega_0^2 x + 2\beta \dot{x} = 0 \quad \text{ou} \quad \ddot{x} + 2\beta \dot{x} + \omega_0^2 x = 0 \quad (4).$$

Para (4) podemos supor a solução  $x = e^{pt}$  (5), com o que  $\dot{x} = p e^{pt}$  e  $\ddot{x} = p^2 e^{pt}$ . Colocando isso em (4) teremos

$$p^2 e^{pt} + 2\beta p e^{pt} + \omega_0^2 e^{pt} = 0 \Rightarrow p^2 + 2\beta p + \omega_0^2 = 0 \quad (6),$$

eliminando a possibilidade pouco interessante  $e^{pt} = 0$ .

De (6),

$$p = \frac{-2\beta \pm \sqrt{4\beta^2 - 4\omega_0^2}}{2} = -\beta \pm \sqrt{\beta^2 - \omega_0^2} \quad (7).$$

Agora, (7) encerra três possibilidades interessantes:

a)  $\beta^2 - \omega_0^2 = 0 \Rightarrow \beta = \omega_0$  (o que fazer com  $\beta = -\omega_0$ ?).

Nesse caso,  $p = -\beta$ , com solução  $x = A e^{-\beta t}$  parece ser a única solução. Onde porém

2.3.2

que a solução, nesse caso, é

$$x = A e^{-\beta t} + B t e^{-\beta t} \quad (8).$$

Verifique (8) diretamente por (4) com  $\beta = \omega_0$ .

O caso em questão é o que se chama de amorteamento crítico. Veja abaixo um possível caso, com  $A=0$ , dessa situação. A que condições iniciais essa situação corresponderia?

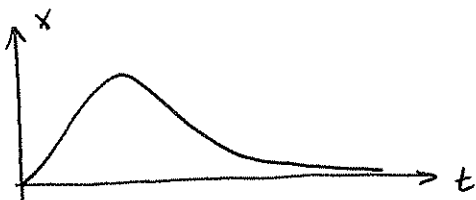


figura 2

Que figura no plano de fases poderia corresponder à figura 2.

- b)  $\beta^2 - \omega_0^2 > 0$  (amorteamento supercrítico). Nesse caso, se  $\Delta = \sqrt{\beta^2 - \omega_0^2}$ , temos por (7)

$$\rho = -\beta \pm \Delta \quad (9),$$

e uma solução geral

$$\begin{aligned} x(t) &= A e^{(-\beta + \Delta)t} + B e^{(-\beta - \Delta)t} \\ &= e^{-\beta t} [A e^{\Delta t} + B e^{-\Delta t}] \quad (10) \end{aligned}$$

Abaixo um gráfico dessa situação, com  $A=0$ . Como seria uma figura correspondente no plano de fases?



figura 3

(mais as condições iniciais aqui?)

2.3.3

c)  $\beta^2 - \omega_0^2 < 0$ . Nesse caso escreveremos  $\sqrt{\beta^2 - \omega_0^2} = \sqrt{-(\omega_0^2 - \beta^2)}$   
 $= \sqrt{-1} \sqrt{\Gamma^2}$ , com  $\Gamma^2 = \omega_0^2 - \beta^2 > 0$  e  $\sqrt{-1} = i$ . Então

temos por (7)

$$\rho = -\beta \pm i\Gamma ,$$

e soluções gerais

$$\begin{aligned} x &= A e^{(-\beta + i\Gamma)t} + B e^{(-\beta - i\Gamma)t} \\ &= e^{-\beta t} [A e^{i\Gamma t} + B e^{-i\Gamma t}] \\ &= e^{-\beta t} [A(\cos \Gamma t) + i(\sin \Gamma t) + B(\cos \Gamma t) - i(\sin \Gamma t)] \\ &= e^{-\beta t} [\underbrace{(A+B)\cos \Gamma t}_a + \underbrace{i(A-B)\sin \Gamma t}_b]; \\ x &= e^{-\beta t} (a \cos \Gamma t + b \sin \Gamma t). \end{aligned}$$

Esse caso é chamado de amortecimento subcrítico. Abaixo temos um possível gráfico com  $a=0$ . A que condições iniciais ele corresponde? Qual seria uma curva esboço no plano de fases nessa situação?

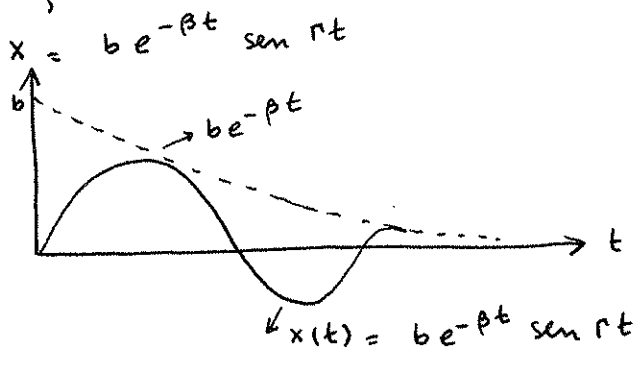


figura 4

note que agora

$$T = \frac{2\pi}{\Gamma} = \frac{2\pi}{\sqrt{\omega_0^2 - \beta^2}}$$

## 2.3.4

Alguns esboços, no plano de fases, para situações do oscilador harmônico amortecido.

a)  $\ddot{x} + 2\dot{x} + 5x = 0$ ,  $x_0 = 1$ ,  $\dot{x}_0 = 0$ .

Solução geral:  $x(t) = e^{-t} (a \cos 2t + b \sin 2t)$ , implicando  $\dot{x}(t) = -e^{-t} (a \cos 2t + b \sin 2t) + e^{-t} (-2a \sin 2t + 2b \cos 2t)$ .

Se  $\dot{x}(0) = 0$ ,  $-e^{-0} (a \cos 2.0 + b \sin 2.0) + e^{-0} (-2a \sin 2.0 + 2b \cos 2.0) = 0$

$$\Rightarrow -a + 2b = 0. \text{ Por outro lado, se } x(0) = 1,$$

$$e^{-0} (a \cos 2.0 + b \sin 2.0) = 1 \Rightarrow a = 1. \text{ Então } b = +1/2.$$

Com isso,  $x(t) = e^{-t} (\cos 2t + \frac{1}{2} \sin 2t)$  (a1) e

$$\dot{x}(t) = -e^{-t} (\cos 2t + \frac{1}{2} \sin 2t) + e^{-t} (-2 \sin 2t + \cos 2t) \text{ (a2).}$$

(a1) e (a2) são um par de relações definindo uma curva no plano  $(x, \dot{x})$  de forma paramétrica, sendo  $t$  o parâmetro: podemos "plotar" os pontos  $(x, \dot{x})$  calculados com sucessivos valores de  $t$  ( $t = 0, 1, 2, \dots$  etc), formando uma linha que "junta" esses pontos.

Podemos também fazer um esboço da seguinte forma. Se  $y = \dot{x}$ , a equação fica  $\dot{y} + 2y + 5x = 0$ . Temos então um par:

$$y = \dot{x} \quad (\text{I})$$

$$\dot{y} = -2y - 5x \quad (\text{II}).$$

O ponto inicial é  $x = 1$ ,  $y = \dot{x} = 0 \Rightarrow \dot{y} = -2 \cdot 0 - 5 \cdot 1 = -5$ .

Como esperamos oscilações (repetições de valores de  $x$ ), com  $x \rightarrow 0$  e  $\dot{x} \rightarrow 0$  para  $t \rightarrow \infty$ , esperamos uma figura como a

abaixo.

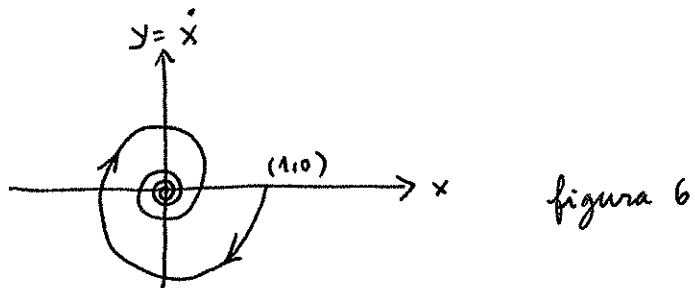


figura 6

b)  $\ddot{x} + 8\dot{x} + 12x = 0$ ,  $x_0 = 1$ ,  $\dot{x}_0 = 1$ .

Solução geral:  $x(t) = e^{-4t} (ae^{2t} + be^{-2t}) \Rightarrow \dot{x}(t) = -4e^{-4t}(ae^{2t} + be^{-2t}) + e^{-4t}(2ae^{2t} - 2be^{-2t})$ . Aplicando as condições iniciais temos  $x(t) = e^{-4t} \left( \frac{7}{4}e^{2t} - \frac{3}{4}e^{-2t} \right)$ . Veja as figuras.

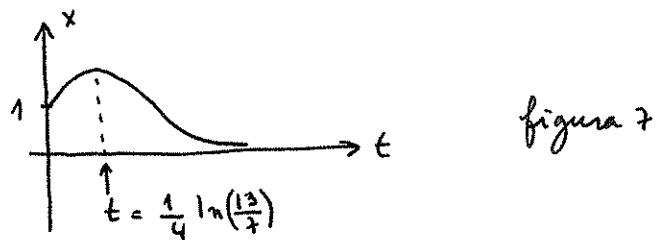


figura 7

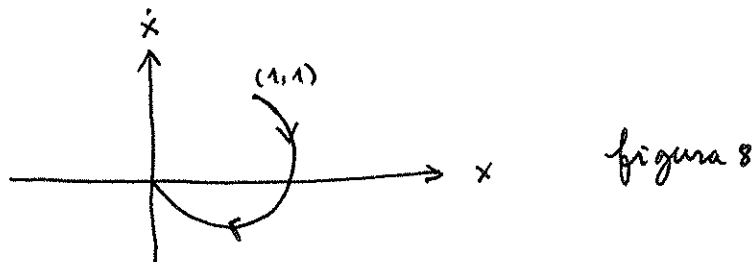


figura 8

2.4.1

a) Na equação  $\ddot{x} + 2\beta \dot{x} + \omega_0^2 x = 0$  (oscilador amortecido) não

haviam forças externas. Mas

a equação  $\ddot{x} + 2\beta \dot{x} + \omega_0^2 x = A \cos \omega t$  (1)

representa a ação, sobre o oscilador,  
de uma força externa  $F_0 \cos \omega t$

(figura ao lado).

$$\omega_0^2 = \frac{K}{m}, \frac{b}{m} = 2\beta, A = \frac{F_0}{m}$$

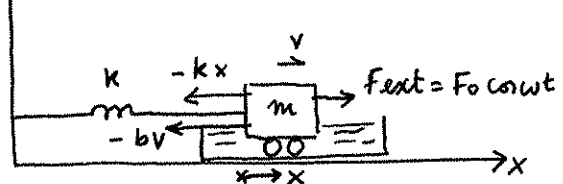


figura 1

A solução de (1) pode ser escrita na forma  $x(t) = x_n + x_p$ ,

com  $x_n$  obedecendo a  $\ddot{x}_n + 2\beta \dot{x}_n + \omega_0^2 x_n = 0$ , com solução

$$x_n = (a \cos rt + b \sin rt) e^{-\beta t}, r = \sqrt{\omega_0^2 - \beta^2} \quad (\text{subamoto cíntico})$$

e com  $x_p$  sendo uma função particular convenientemente  
escolhida para satisfazer (1).

Na solução

$$x = e^{-\beta t} (a \cos rt + b \sin rt) + x_p(t) \quad (2),$$

a função  $x_n$ , que é tal que  $\lim_{t \rightarrow \infty} e^{-\beta t} (a \cos rt + b \sin rt) \rightarrow 0$   
é chamada de transiente, desaparecendo no tempo sua  
influência (de fato, muito pequena para tempo  $t > 1/\beta$ ).

O maior interesse no problema está na função  $x_p(t)$ ,  
que podemos chamar de permanente. Para encontrar  $x_p(t)$   
vamos representar  $x_p$  de forma complexa, isto é, vamos  
escrever (1) para  $z_p = x_p + i y_p$  (3). Ao final do problema,  
tomaremos a parte real  $x_p = \operatorname{Re}(z_p)$  (3a). Notando que  
 $A \cos \omega t = \operatorname{Re}(A e^{i\omega t})$  ( $A$  real), temos (1), para  $z_p$ ,

2.4.2

$$\ddot{z}_p + 2\beta \dot{z}_p + \omega_0^2 z_p = A e^{i\omega t} \quad (4)$$

Podemos propor para  $z_p$  a forma  $z_p = D e^{i(\omega t - \delta)}$ , representando uma oscilação de amplitude  $D$  adquirindo alguma defasagem  $\delta$  em relação à força externa. Temos

$$\left. \begin{aligned} \dot{z}_p &= i\omega D e^{i(\omega t - \delta)} \\ &= i\omega z_p \end{aligned} \right\} \quad (5) \quad \& \quad \left. \begin{aligned} \ddot{z}_p &= (i\omega)(i\omega) D e^{i(\omega t - \delta)} \\ &= -\omega^2 z_p \quad (i \cdot i = i^2 = -1). \end{aligned} \right\} \quad (6)$$

Substituindo (5) e (6) de volta em (4) teremos

$$-\omega^2 z_p + 2\beta i\omega z_p + \omega_0^2 z_p = (-\omega^2 + 2i\beta\omega + \omega_0^2) D e^{i(\omega t - \delta)} = A e^{i\omega t},$$

ou

$$(-\omega^2 + 2i\beta\omega + \omega_0^2) e^{-i\delta} = \frac{A}{D} \quad (7),$$

que, com  $e^{-i\delta} = \cos \delta - i \sin \delta$ , nos dá de fato duas equações. Vejamos:

$$(-\omega^2 + 2i\beta\omega + \omega_0^2) (\cos \delta - i \sin \delta) = \frac{A}{D};$$

$$(-\omega^2 + 2i\beta\omega + \omega_0^2) \cos \delta - (-\omega^2 + 2i\beta\omega + \omega_0^2) i \sin \delta = \frac{A}{D};$$

$$(-\omega^2 + 2i\beta\omega + \omega_0^2) \cos \delta - (-\omega^2 i - 2\beta\omega + \omega_0^2 i) \sin \delta = \frac{A}{D};$$

$$[(-\omega^2 + \omega_0^2) \cos \delta + 2\beta\omega \sin \delta] + i [2\beta\omega \cos \delta - (-\omega^2 + \omega_0^2) \sin \delta] = \frac{A}{D} \quad (8).$$

Observe que, sendo  $\frac{A}{D}$  real ( $A$  e  $D$  reais),

$$(-\omega^2 + \omega_0^2) \cos \delta + 2\beta\omega \sin \delta = \frac{A}{D} \quad (9),$$

$$2\beta\omega \cos \delta - (-\omega^2 + \omega_0^2) \sin \delta = 0 \quad (10).$$

De (10) temos  $(\omega_0^2 - \omega^2) \sin \delta = 2\beta\omega \cos \delta \Rightarrow \operatorname{tg} \delta = \frac{\sin \delta}{\cos \delta}$  tal

que  $\operatorname{tg} \delta = \frac{2\omega\beta}{\omega_0^2 - \omega^2}$  (11). Note que (11) permite conhecer,

2.4.3

em princípio,  $D$  por (9), sendo  $A = F_0 / m$  dada (figura 1). Há, no entanto, um truque que permite obter  $D$  sem que precisemos calcular  $\delta$ . Escrevemos (7) e sua complexa conjugada:

$$(-\omega^2 + 2i\beta\omega + \omega_0^2) e^{-i\delta} = \frac{A}{D} \quad (7)$$

$$(-\omega^2 - 2i\beta\omega + \omega_0^2) e^{i\delta} = \frac{A}{D} \quad (7') \quad \left\{ \begin{array}{l} \text{Complexo conjugado} \\ \text{nos dois lados de} \\ (7). \end{array} \right.$$

Formamos agora o produto  $(7) \times (7')$ :

$$(-\omega^2 + 2i\beta\omega + \omega_0^2) \underbrace{e^{-i\delta}}_{\substack{\sim \\ (-\omega^2 - 2i\beta\omega + \omega_0^2) e^{i\delta}}} = \frac{A}{D} \frac{A}{D};$$

$$\underbrace{e^{-i\delta} e^{i\delta}}_{\substack{\sim \\ e^0 = 1}} = 1$$

$$[(\omega_0^2 - \omega^2) + i2\beta\omega] [(\omega_0^2 - \omega^2) - i2\beta\omega] = \frac{A^2}{D^2};$$

$$(\omega_0^2 - \omega^2)(\omega_0^2 - \omega^2) - 2i\beta\omega(\omega_0^2 - \omega^2) + 2i\beta\omega(\omega_0^2 - \omega^2) - i^2 4\beta^2 \omega^2 = \frac{A^2}{D^2};$$

$$\underbrace{i^2}_{\sim} = -1$$

$$[(\omega_0^2 - \omega^2)^2 + 4\beta^2 \omega^2] = \frac{A^2}{D^2};$$

$$D = \frac{A}{\sqrt{[(\omega_0^2 - \omega^2)^2 + 4\beta^2 \omega^2]}} \quad (12)$$

b) Devemos tentar esboçar gráficos de  $D(w)$  (12) e  $\delta(w)$  (por 11)). Naturalmente, estamos considerando  $w$ , a frequência da força externa, variável. Observe anteriormente que  $x_p = \operatorname{Re}(z_p) = D \cos(\omega t - \delta) = \operatorname{Re}(D e^{i(\omega t - \delta)})$ , com  $D$  e  $\delta$  dados por (12) e (11).

2.4.4

No caso de  $D(w)$ , (12) nos mostra que não existem zeros de  $D(w)$  (valores finitos de  $w$  para os quais  $D = 0$ ). Em  $w=0$ ,  $D(w) = D(w=0) = A/w_0^2$ . Não há valores de  $D(w)$  singulares para nenhum  $w$  e, finalmente, em relações a uma análise de valores estabelecidos de  $w$ , nota-se que  $\lim_{w \rightarrow \infty} D(w) = 0$  (note que  $w \rightarrow \infty$  não é, propriamente, um valor de  $w$ ). Ouve porém, agora, que  $D(w)$  tem um máximo, correspondente a  $f(w) = (w_0^2 - w^2)^2 + 4\beta^2 w^2$  mínimo. Temos  $(d f / dw) = 0$  com  $2(w_0^2 - w^2)(-2w) + 4\beta^2 2w = 0 \Rightarrow w^2 = w_0^2 - 2\beta^2 = w_R^2$  (13) (eliminamos  $w=0$ ). Podemos então agora esboçar o gráfico abaixo:

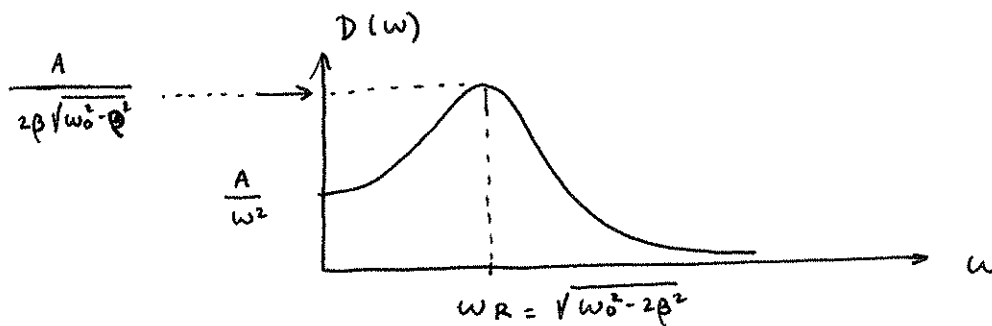


figura 2

Note que, por (12) e (13),

$$D(w=w_R) = \frac{A}{[(w_0^2 - w_R^2) + 4\beta^2 w_R^2]^{1/2}} = \frac{A}{[(w_0^2 - (w_0^2 - 2\beta^2))^2 + 4\beta^2 (w_0^2 - 2\beta^2)]^{1/2}}$$

$$= \frac{A}{2\beta\sqrt{w_0^2 - \beta^2}} \quad (14), \text{ como indicado na figura 2}$$

$w=w_R$ , correspondente na figura 2 à máxima amplitude  $D$  do movimento estacionário,  $x_p = D \cos(\omega t - \delta)$ , e se a frequência da força externa for  $w_R$ ,

chamamos essa situação de resonância

Estamos nesse problema supondo oscilações subanorteadas, isto é, com  $\rho$  suficientemente pequeno. Observe, por (13), que  $2\beta^2 > \omega_0^2$  nos leva a  $wR$  imaginário, isto é, à conclusão de não existência do máximo em  $D(w)$ , que apenas, então, diminui monotonicamente com  $w$ . Nesse caso ( $\rho$  "grande",  $\rho > \omega_0/\tau_2$ ) não ocorre resonância.

Para um esboço do gráfico de  $\delta(w)$  devemos examinar (11):  $\operatorname{tg} \delta = \frac{2w\rho}{\omega_0^2 - w^2}$ . Com  $w=0$ ,  $\operatorname{tg} \delta = 0$  e

podemos ter  $\delta=0, 2\pi, 4\pi \dots$  etc., ou ainda  $\delta=\pi, 3\pi \dots$  etc.

É razoável escolher, no caso,  $\delta=0$  para  $w=0$ . Ao aumentarmos assim  $w$ , com  $\omega_0^2 - w^2 > 0$ , lentamente, esperamos um aumento em  $\operatorname{tg} \delta$  e, portanto, em  $\delta$ . Quando  $\omega_0^2 - w^2$  se aproxima de 0, o que ocorre em  $\omega_0^2 = w^2$ ,  $\operatorname{tg} \delta$  "tende a  $\infty$ ", o que significa  $\delta=\pi/2$ , já que tomamos  $\delta$  para aumentar a partir de  $\delta=0$ , em  $w=0$ , no primeiro quadrante para o ângulo  $\delta$ . Quando  $w$  é tal que  $\omega_0^2 - w^2 < 0$  ( $w^2 > \omega_0^2$  ou  $w > \omega_0$ ),  $\operatorname{tg} \delta$  é negativo, e passamos para o 2º quadrante. Quando  $w \rightarrow \infty$ ,  $\operatorname{tg} \delta$  tende, por "L'Hospital", a 0. Como passamos para o 2º quadrante, devemos esperar, nesse caso,  $\delta \rightarrow \pi$ . A figura abaixo representa essas

considerações. Um ciclo trigonométrico auxiliar também está desenhado

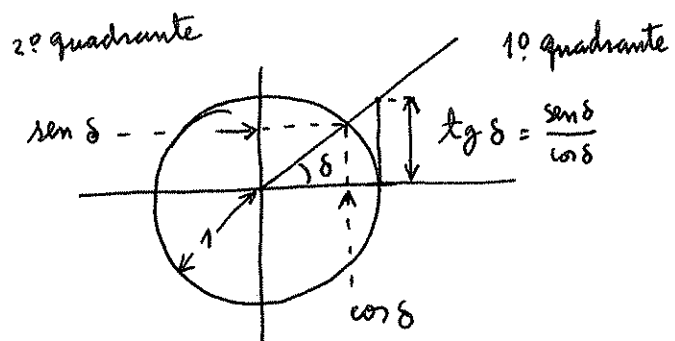
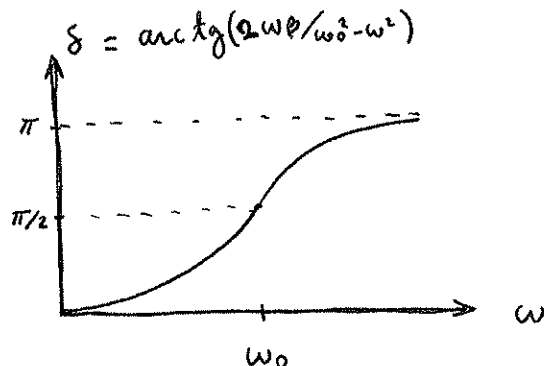


figura 3

Veja que quando  $\omega \gg \omega_0$  a oscilação fica "180 graus" fora de fase com a força externa.

Quando  $\beta \rightarrow 0$ , (14) mostra que a amplitude  $D(\omega_R)$  tende ao infinito: o sistema pode se romper nessa situação.

Pede-se agora para que se verifique que, com  $\beta$  suficientemente pequeno, o fator de qualidade  $Q = \frac{\omega_R}{2\beta}$  seja aproximadamente representado por  $Q = \frac{\omega_0}{\Delta\omega}$ , sendo  $\Delta\omega$  uma faixa de frequências, em torno da frequência de ressonância, tal que a amplitude caia de  $\frac{1}{\sqrt{2}}$  do seu valor na ressonância. A figura abaixo é explicativa da situação.

2.4.7

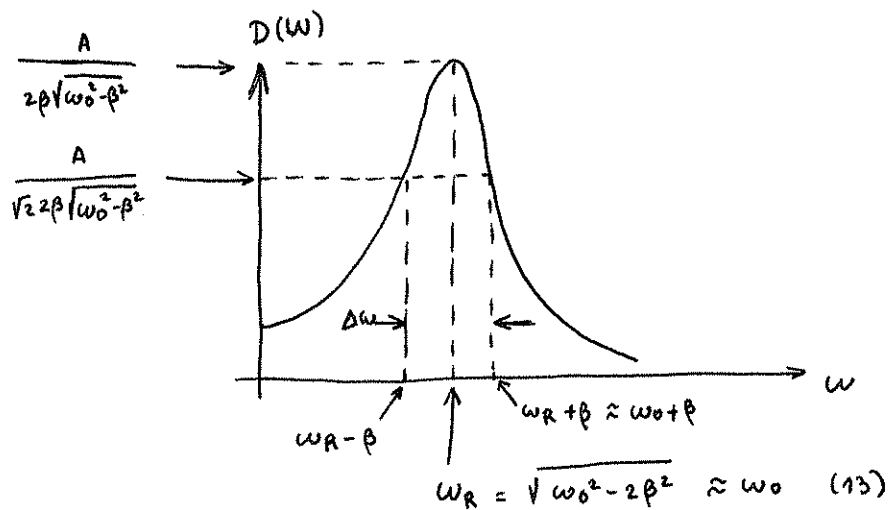


figura 4

Primeiramente, se  $\beta$  é suficientemente pequeno, em relação a  $w_0$ , faremos  $w_R = w_0$ , como indica a figura 4. Nessa aproximação,  $A = \frac{w_0}{2\beta}$ . Pelo enunciado, portanto, espera-se que  $D(w_R + \beta) \approx D(w_0 + \beta) = \frac{A}{\sqrt{2\beta\sqrt{w_0^2 - \beta^2}}} = \frac{A}{\sqrt{8\beta^2 w_0^2 - 8\beta^4}}$ , com  $D(w)$  dado por (12). De forma exata, a frequência  $w$  que se procura corresponde então a

$$\frac{A}{\sqrt{(w_0^2 - w^2)^2 + 4\beta^2 w^2}} = \frac{A}{\sqrt{8\beta^2 w_0^2 - 8\beta^4}} \Rightarrow (w_0^2 - w^2)^2 + 4\beta^2 w^2 = 8\beta^2 w_0^2 - 8\beta^4 \quad (15)$$

Observe que a equação (15) é uma equação complicada em  $w$ . Se, em correspondência com a figura 4, esperarmos que  $w$  correspondente a (15) se afaste pouco de  $w_R = w_0$  (em aproximação), podemos procurar por soluções  $w = w_0 + \Delta$  (16), na esperança de  $\Delta$  pequeno. Tornando apenas as ordens mais baixas em  $\Delta$  temos  $w^2 = w_0^2 + 2w_0\Delta$  (17) (desprezamos  $\Delta^2$  em  $w^2$ ). Inservindo (17) em (15) temos

$$(-2\omega_0 \Delta)^2 + 4\beta^2 (\omega_0^2 + 2\omega_0 \Delta) = 8\beta^2 \omega_0^2 - 8\beta^4$$

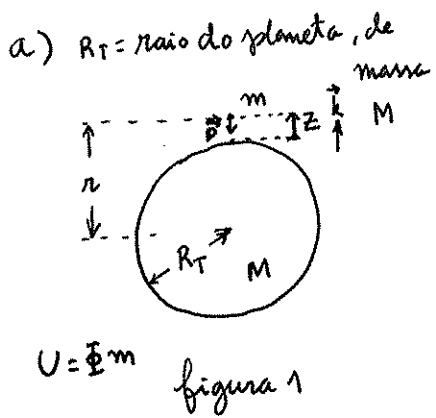
$$4\omega_0^2 \Delta^2 + 4\beta^2 \omega_0^2 + 8\omega_0 \beta^2 \Delta = 8\beta^2 \omega_0^2 - 8\beta^4 \quad (16)$$

Agora, em (16), se esperamos que  $\Delta$  e  $\beta$  sejam pequenos na mesma ordem, desprezamos  $\beta^2 \Delta$  e  $\beta^4$ , com o que (16) fica

$$4\omega_0^2 \Delta^2 = 4\beta^2 \omega_0^2 \Rightarrow \Delta = \pm \beta ,$$

como sugerido no enunciado e na figura 4.

2.5.1



Acompanhando a figura 1, em que  $z$ , a altura de  $m$  em relação ao solo, é muito pequena comparada com  $R_T$ , a energia potencial de  $m$ , enotrida a convenção pela qual  $U \rightarrow 0$  com  $r \rightarrow \infty$ ,

é

$U = -\frac{GMm}{r}$  (1), sendo  $G = 6.67 \times 10^{-11}$  (S I) a constante universal de gravitação. Pela figura e por (1)

$$U = -\frac{GMm}{R_T + z} = -\frac{GMm}{R_T} \frac{1}{(1 + \frac{z}{R_T})} \quad (2)$$

Ocorre que se  $z$  é pequena, vale a aproximação  $\frac{1}{1 + \frac{z}{R_T}} \approx 1 - \frac{z}{R_T}$ .

Com o que (2) fica, aproximadamente

$$U = -\frac{GMm}{R_T} \left(1 - \frac{z}{R}\right) = -\frac{GMm}{R_T} + \frac{GMm}{R_T^2} z \quad (3).$$

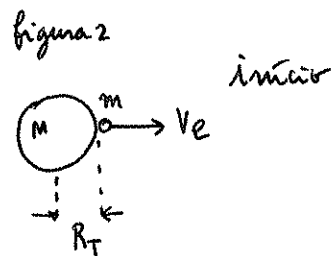
Definindo  $g = \frac{GM}{R_T^2}$  (que com  $R_T = 6.37 \times 10^6$  m e  $M = 5.98 \times 10^{24}$  kg,

para a Terra, fica  $9.83 \text{ m/s}^2$ , como esperado) temos

$$U = -\frac{GMm}{R_T} + mgz \quad (4).$$

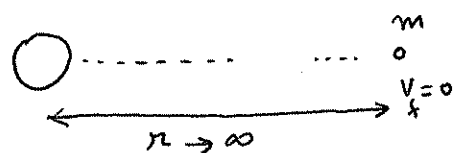
Note que, como  $-\frac{GMm}{R_T}$  é uma constante, podemos simplesmente reescrever (4) na forma  $U = mgz$ , com o que  $\vec{P} = -\frac{dU}{dz} \vec{k} = -mg\vec{k}$ , como já sabíamos. Nessa aproximação o potencial gravitacional é  $\Phi = \frac{U}{m} = gz$ .

b) O existe de um corpo de massa  $m$  da influência gravitacional do corpo de massa  $M$  corresponde à situação ao lado, em que o corpo, inicialmente na superfície do planeta, é lançado com a velocidade  $v_e$  e, ao final, está em repouso e infinitamente afastado.



$$E_i = \frac{m}{2} v_e^2 - \frac{GMm}{R_T}$$

final



$$E_f = -\frac{GMm}{\infty} + \frac{m}{2} (v_f)^2 = 0$$

Como a energia se conserva temos

$$E_i = E_f \Rightarrow \frac{m v_e^2}{2} - \frac{GMm}{R_T} = 0 \Rightarrow v_e = \sqrt{\frac{2GM}{R_T}} \quad (\approx 11 \text{ km/s para a Terra})$$

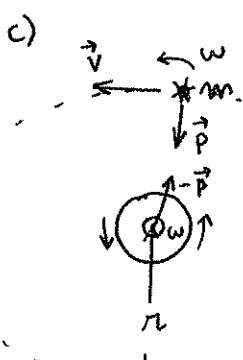


figura 3

O satélite geostacionário tem a mesma velocidade angular  $w$  do planeta.

Temos

$$|\vec{p}| = \frac{GMm}{r^2} = m \frac{v^2}{r} = \frac{m(wr)^2}{r};$$

$\overbrace{\text{força peso}}$      $\overbrace{\text{massa}}$   
(única força  
no satélite)

$$\frac{GMm}{r^2} = \frac{m\omega^2 r^2}{r} \Rightarrow \frac{GM}{r^2} = \omega^2 r \Rightarrow r = \left( \frac{GM}{\omega^2} \right)^{1/3}.$$

Então espera-se que uma única trajetória circular, com  $r$  calculado acima, seja necessária para qualquer satélite geostacionário.

a)

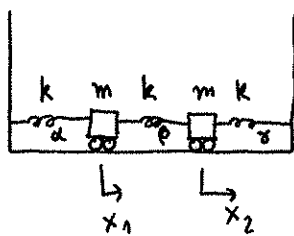


figura 1

Acompanhamos a figura ao lado,

em que  $x_1$  e  $x_2$  são deslocamentos

das massas indicados em relação às suas posições de equilíbrio.

A energia potencial do sistema é

$$U(x_1, x_2) = \underbrace{\frac{1}{2} k x_1^2}_{\text{mola } \alpha} + \underbrace{\frac{1}{2} k (x_2 - x_1)^2}_{\text{mola } \beta} + \underbrace{\frac{1}{2} k x_2^2}_{\text{mola } \delta} \quad (1),$$

de forma que a 2ª lei de Newton, para cada massa, fica

$$m \ddot{x}_1 = - \frac{\partial U}{\partial x_1} = -k x_1 + k (x_2 - x_1) \Rightarrow \ddot{x}_1 + \frac{2k}{m} x_1 - \frac{k}{m} x_2 = 0 \quad (2);$$

$$m \ddot{x}_2 = - \frac{\partial U}{\partial x_2} = -k (x_2 - x_1) - k x_2 \Rightarrow \ddot{x}_2 + \frac{2k}{m} x_2 - \frac{k}{m} x_1 = 0 \quad (3).$$

Se definirmos  $\omega_0^2 = \frac{k}{m}$ , (2) e (3) ficam

$$\ddot{x}_1 + \frac{2k}{m} x_1 - \frac{k}{m} x_2 = 0 \quad \text{ou} \quad \ddot{x}_1 + 2\omega_0^2 x_1 - \omega_0^2 x_2 = 0 \quad (4);$$

$$\ddot{x}_2 + 2\omega_0^2 x_2 - \omega_0^2 x_1 = 0 \quad (5).$$

O que significa buscar modos normais de oscilação?Significa buscar soluções oscilatórias para (4) e (5) na forma geral  $x_1 = A e^{i\omega t}$  (6) e  $x_2 = B e^{i\omega t}$  (7), isto é, vibrações das massas com a mesma frequência e distintas "amplitudes" A e B. Temos, por (6) e (7),

$$\ddot{x}_1 = (i\omega)^2 A e^{i\omega t} = -\omega^2 A e^{i\omega t} \quad (8)$$

$$\text{e } \ddot{x}_2 = (i\omega)^2 B e^{i\omega t} = -\omega^2 B e^{i\omega t} \quad (9).$$

Colocando (6), (7), (8) e (9) em (4) e (5) temos

$$-\omega^2 A e^{i\omega t} + 2\omega_0^2 A e^{i\omega t} - \omega_0^2 B e^{i\omega t} = 0$$

$$\epsilon - \omega^2 B e^{i\omega t} + 2\omega_0^2 B e^{i\omega t} - \omega_0^2 A e^{i\omega t} = 0.$$

Eliminando  $e^{i\omega t}$ , ficamos então com

$$-\omega^2 A + 2\omega_0^2 A - \omega_0^2 B = 0 \Rightarrow (2\omega_0^2 - \omega^2)A - \omega_0^2 B = 0 \quad (10)$$

$$\epsilon - \omega^2 B + 2\omega_0^2 B - \omega_0^2 A = 0 \Rightarrow -\omega_0^2 A + (2\omega_0^2 - \omega^2)B = 0 \quad (11).$$

(10) e (11) deveriam ser encaradas como um sistema de equações para  $A$  e  $B$ . Parece, no entanto, que apenas  $A = 0$  e  $B = 0$  são soluções de (10) e (11). Vamos porém nos lembrar do seguinte: pela regra de Cramer o sistema

$$a_{11}x + a_{12}y = P(x),$$

$$a_{21}x + a_{22}y = Q(y),$$

tem em princípio, com  $\Delta = \begin{vmatrix} a_{11} & a_{12} \\ a_{21} & a_{22} \end{vmatrix} = a_{11}a_{22} - a_{21}a_{12}$ ,

soluções

$$x = \frac{\begin{vmatrix} P & a_{12} \\ Q & a_{22} \end{vmatrix}}{\Delta} = \frac{P a_{22} - Q a_{12}}{\Delta},$$

$$y = \frac{\begin{vmatrix} a_{11} & P \\ a_{21} & Q \end{vmatrix}}{\Delta} = \frac{a_{11}Q - a_{21}P}{\Delta}.$$

Então, de fato, se  $P = 0$  e  $Q = 0$  ( $P = Q = 0$ ), em geral apenas  $x = 0$  e  $y = 0$  são soluções do sistema. Se, porém, ocorrer  $\Delta = 0$ , teremos  $x = \frac{0}{0}$  e  $y = \frac{0}{0}$ , indeterminados. (Lembre-se: se  $\frac{n_1}{n_2} = r$ , devemos ter  $n_1 = rn_2$ . Se  $n_1 = n_2 = 0$ ,

2.6.3

qualquer valor de  $n$  possibilitará  $n_1 = n \cdot n_2$ . Exemplo:  $0 = 3 \times 0$ , ( $n=3$ ),  $0 = 4 \times 0$  ( $n=4$ ),  $0 = \pi \cdot 0$  ( $n=\pi$ ), etc.). Então, se  $P=Q=0$  e  $\Delta=0$ , poderão existir  $x$  e  $y$  não-nulos que satisfazem o sistema  $(*)$ ,  $(y)$ .

Do que está escrito acima, e levando em conta que o valor de  $w$  é completamente desconhecido, concluímos que (10) e (11) só poderão ser um sistema com soluções não-trivial (trivial seria a solução  $A=B=0$ ) se

$$\Delta = \begin{vmatrix} 2w_0^2 - w^2 & -w_0^2 \\ -w_0^2 & 2w_0^2 - w^2 \end{vmatrix} = 0 \quad (12),$$

chamada às vezes de equações secundar. Os possíveis valores de  $w$  (ou  $w^2$ , mais propriamente falando) são chamados de autovalores. Note que, de fato, (10) e (11) podem ser coloadas na forma de uma equação de autovalores para  $M = \begin{pmatrix} 2w_0^2 & -w_0^2 \\ -w_0^2 & 2w_0^2 \end{pmatrix}$ , com  $X = \begin{pmatrix} A \\ B \end{pmatrix}$ ,

na forma

$$M X = \lambda X, \text{ com } \lambda = w^2.$$

Agora (12) vai então fixar valores de  $w$ . Por (12) temos

$$(2w_0^2 - w^2)(2w_0^2 - w^2) - w_0^2 w_0^2 = 0 \Rightarrow 4w_0^4 - 4w_0^2 w^2 + w^4 - w_0^4 = 0$$

$$\Rightarrow w^4 - 4w_0^2 w^2 + 3w_0^4 = 0, \text{ que é uma equação do 2º grau para } w^2. \text{ Temos}$$

$$\omega^2 = \frac{4\omega_0^2 \pm \sqrt{16\omega_0^4 - 12\omega_0^4}}{2},$$

ou seja  $\omega^2 = \omega_1^2 = 3\omega_0^2$  (13) e  $\omega^2 = \omega_2^2 = \omega_0^2$  (14). Descobrimos então que há dois modos de vibração, um com frequência  $\omega_1 = \sqrt{3}\omega_0$  e outro com  $\omega_2 = \omega_0$ .

Para seguir, devemos, para cada frequência normal obtida, relacionar A e B, as amplitudes, usando (10) ou (11) para cada valor encontrado de  $\omega$ . Temos então os casos abaixo:

\*  $\omega = \omega_1$ . Nesse caso, usando (10) e (13) teremos

$$(2\omega_0^2 - 3\omega_0^2)A - \omega_0^2 B = 0 \Rightarrow B = -A.$$

Considerando as formas (6) e (7) teremos então

nesse caso

$$x_1 = A e^{i\omega_1 t} \quad (15)$$

$$\text{e } x_2 = -A e^{i\omega_1 t} = \underbrace{e^{i\pi}}_{-1} A e^{i\omega_1 t} = A e^{i(\omega_1 t + \pi)} \quad (16),$$

$$e^{i\pi} = \underbrace{\cos \pi}_{-1} + i \underbrace{\sin \pi}_0 = -1$$

O que mostra que  $x_2$ , novo modo, terá a mesma amplitude, com oscilações fora de fase em  $180^\circ$  em relação a  $x_1$ . Abaixo temos uma representação disso.



Note que o uso de (11) em (11) nos daria o mesmo resultado.

\*  $\omega = \omega_2$ . Nesse caso, quando (10) e (14) teremos

$$(2\omega_0^2 - \omega_0^2) A - \omega_0^2 B = 0 \Rightarrow B = A ,$$

e as formas (6) e (7) nos darão soluções em fase:

$$x_1 = A e^{i\omega_2 t} \quad (17)$$

$$\text{e } x_2 = A e^{i\omega_2 t} \quad (18).$$

Abaixo temos uma representação do que ocorre.

$$\begin{array}{ccc} \longrightarrow & & \longrightarrow \\ x_1 & & x_2 \end{array}$$

Vejamos agora o seguinte: a solução geral, para quaisquer condições iniciais ( $x_1(t=0), \dot{x}_1(t=0), x_2(t=0), \dot{x}_2(t=0)$ ), superpõe os dois modos. Para  $x_1(t)$  isso nos dá

$$x_1(t) = \underbrace{A_1 e^{i\omega_1 t} + \bar{A}_1 e^{-i\omega_1 t}}_{\text{modo 1}} + \underbrace{A_2 e^{i\omega_2 t} + \bar{A}_2 e^{-i\omega_2 t}}_{\text{modo 2}} \quad (19),$$

enquanto para  $x_2(t)$ , dadas as relações entre amplitudes em cada modo,

$$\begin{aligned} x_2(t) &= B_1 e^{i\omega_1 t} + \bar{B}_1 e^{-i\omega_1 t} + B_2 e^{i\omega_2 t} + \bar{B}_2 e^{-i\omega_2 t} \\ &= -A_1 e^{i\omega_1 t} - \bar{A}_1 e^{-i\omega_1 t} + A_2 e^{i\omega_2 t} + \bar{A}_2 e^{-i\omega_2 t} \end{aligned} \quad (20).$$

As formas (19) e (20) estão preparadas para, com as quatro condições iniciais, ... representar o movimento das massas, notando-se que as constantes que sobraram

para o ajuste das condições iniciais,  $A_1$  e  $\bar{A}_1$ ,  $A_2$  e  $\bar{A}_2$ , são exatamente quatro, como desejado.

Notemos agora que, de (19) e (20),

$$x_1 + x_2 = \eta_2 = 2 (A_2 e^{i\omega_2 t} + \bar{A}_2 e^{-i\omega_2 t}) \quad (21)$$

$$\text{e } x_1 - x_2 = \eta_1 = 2 (A_1 e^{i\omega_1 t} + \bar{A}_1 e^{-i\omega_1 t}) \quad (22)$$

são variáveis que, embora nem representações física direta, oscilam, cada uma delas, em um único modo.  $\eta_1$  e  $\eta_2$  são proporcionais a que chamamos de coordenadas normais do sistema. De fato, podemos escolher  $\eta_1$  e  $\eta_2$  como as coordenadas normais nesse caso. Com elas

$$x_1 = \frac{1}{2} (\eta_1 + \eta_2) \quad (23) \text{ e } x_2 = \frac{1}{2} (\eta_2 - \eta_1) \quad (24)$$

Observe que em termos dessas coordenadas temos

$$\begin{aligned} T &= \frac{m}{2} \dot{x}_1^2 + \frac{m}{2} \dot{x}_2^2 \\ &= \frac{m}{2} \frac{1}{4} (\dot{\eta}_1 + \dot{\eta}_2)^2 + \frac{m}{2} \frac{1}{4} (\dot{\eta}_2 - \dot{\eta}_1)^2 = \frac{m}{4} \dot{\eta}_1^2 + \frac{m}{4} \dot{\eta}_2^2 \end{aligned} \quad (25)$$

$$\begin{aligned} U(x_1, x_2) &= U(\eta_1, \eta_2) = \frac{1}{2} k \frac{1}{4} (\eta_1 + \eta_2)^2 + \frac{1}{2} k (-\eta_1)^2 + \frac{1}{2} k \frac{1}{4} (\eta_2 - \eta_1)^2 \\ &= \frac{3}{4} k \eta_1^2 + \frac{1}{4} k \eta_2^2 \end{aligned} \quad (26)$$

As expressões acima significam que, em termos das coordenadas normais, além de  $T$ ,  $U$  também não tem termos cruzados, dependentes das duas variáveis.

2.6.7

2.7

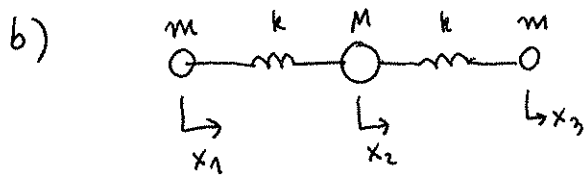


figura 2

Às lado temos a situação que poderia ser representativa de vibrações pequenas, por exemplo, numa molécula de  $\text{CO}_2$  ( $\text{O}=\text{C}=\text{O}$ ). Em

analogia com o item anterior,

$$V = \frac{1}{2} k (x_2 - x_1)^2 + \frac{1}{2} k (x_3 - x_2) \quad (1),$$

com o que ( $\omega_0^2 = k/m$ ,  $\Omega_0^2 = k/M$ )

$$m \ddot{x}_1 = -\frac{\partial V}{\partial x_1} = k(x_2 - x_1) \Rightarrow \ddot{x}_1 + \omega_0^2 x_1 - \omega_0^2 x_2 = 0 \quad (2),$$

$$M \ddot{x}_2 = -\frac{\partial V}{\partial x_2} = -k(x_2 - x_1) + k(x_3 - x_2) \Rightarrow \ddot{x}_2 + 2\Omega_0^2 x_2 - \Omega_0^2 x_1 - \Omega_0^2 x_3 = 0 \quad (3),$$

$$m \ddot{x}_3 = -\frac{\partial V}{\partial x_3} = -k(x_3 - x_2) \Rightarrow \ddot{x}_3 + \omega_0^2 x_3 - \omega_0^2 x_2 = 0 \quad (4).$$

Buscamos modos na forma

$$x_1 = A e^{i\omega t} \quad (5), \quad x_2 = B e^{i\omega t} \quad (6), \quad x_3 = C e^{i\omega t} \quad (7).$$

Colocando (5), (6) e (7) em (2), (3) e (4) temos

$$\left. \begin{array}{l} -\omega^2 A + \omega_0^2 A - \omega_0^2 B = 0 \\ -\omega^2 B + 2\Omega_0^2 B - \Omega_0^2 A - \Omega_0^2 C = 0 \\ -\omega^2 C + \omega_0^2 C - \omega_0^2 B = 0 \end{array} \right\} \begin{array}{l} (\omega_0^2 - \omega^2) A - \omega_0^2 B + \Omega_0^2 C = 0 \quad (8) \\ -\Omega_0^2 A + (2\Omega_0^2 - \omega^2) B - \Omega_0^2 C = 0 \quad (9) \\ \Omega_0^2 A - (\Omega_0^2 B + (\omega_0^2 - \omega^2) C = 0 \quad (10) \end{array}$$

A equação secular é agora

$$\left| \begin{array}{ccc} (\omega_0^2 - \omega^2) & -\omega_0^2 & 0 \\ -\Omega_0^2 & 2\Omega_0^2 - \omega^2 & -\Omega_0^2 \\ 0 & -\omega_0^2 & \omega_0^2 - \omega^2 \end{array} \right| = 0, \text{ dando}$$

$$(\omega_0^2 - \omega^2)^2 (2\omega_0^2 - \omega^2) - 2\omega_0^2 (\omega_0^2 - \omega^2) \omega_0^2 = 0;$$

$$(\omega_0^2 - \omega^2) [(\omega_0^2 - \omega^2) (2\omega_0^2 - \omega^2) - 2\omega_0^2 \omega_0^2] = 0;$$

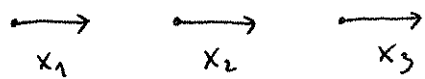
$$(\omega_0^2 - \omega^2) [\omega_0^2 2\omega_0^2 - \omega_0^2 \omega^2 - \omega^2 \omega_0^2 - 2\omega_0^2 \omega_0^2 + \omega^4] = 0;$$

$$(\omega_0^2 - \omega^2) [\omega^2 - \omega_0^2 - 2\omega_0^2] \omega^2 = 0 \quad (11).$$

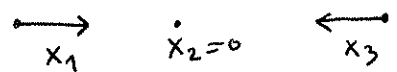
As raízes de (11) são  $\omega = \omega_1 = 0$ ,  $\omega = \omega_2 = \omega_0$  e  $\omega = \omega_3 = \sqrt{\omega_0^2 + 2\omega_0^2}$ .

Temos então 3 casos:

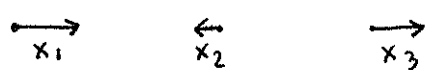
a)  $\omega = 0$ . Por (8),  $A = B$  e por (10),  $B = C$ . As amplitudes são todas iguais mas não há oscilações:  $x_1 = A e^{i0t} = A$ ,  $x_2 = B$ ,  $x_3 = C$ . Pode-se mostrar que esse "modo" representa de fato uma translação do sistema. Abaixo um esquema.



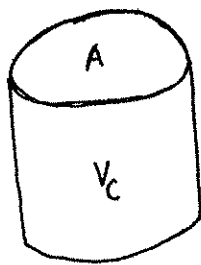
b)  $\omega = \omega_2 = \omega_0$ . Por (8),  $B = 0$ . Por (10), também, e consistentemente,  $B = 0$ . Por (9), com  $B = 0$ ,  $A = -C$ . Nesse modo, M está em repouso e as duas outras massas oscilam em oposição. Abaixo um esquema.



c)  $\omega = \omega_3 = \sqrt{\omega_0^2 + 2\omega_0^2} \Rightarrow \omega^2 = \omega_0^2 + 2\omega_0^2$ . Por (8),  $(\omega_0^2 - \omega_0^2 - 2\omega_0^2) A - \omega_0^2 B = 0 \Rightarrow B = -\frac{2\omega_0^2}{\omega_0^2} A$ . Então, por (10)  $-\omega_0^2 (-\frac{2\omega_0^2}{\omega_0^2}) A + (\omega_0^2 - \omega_0^2 - 2\omega_0^2) C = 0 \Rightarrow 2\omega_0^2 A - 2\omega_0^2 C = 0 \Rightarrow C = A$ . Então  $A$  e  $B$  estão em oposição, enquanto  $A$  e  $C$  estão em fase com a mesma amplitude. Abaixo um esquema.



2.7. (3.7).1



$$A = 1 \text{ cm}^2$$

$$\rho = 0.8 \text{ g/cm}^3$$

(densidade do cilindro)

fig.1

$V_c$  = volume do cilindro

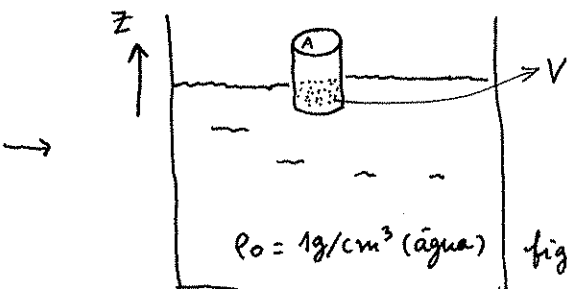


fig.2

O cilindro é colocado na água, com  $V = 0,8 \text{ cm}^3$  sendo um volume submerso quando não há movimento.

Situações de equilíbrio →



$$\rho_0 V g = \rho V_c g \Rightarrow \rho_0 V = \rho V_c \quad (1)$$

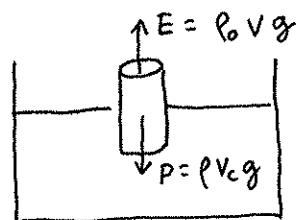


fig.3

Oscilações →

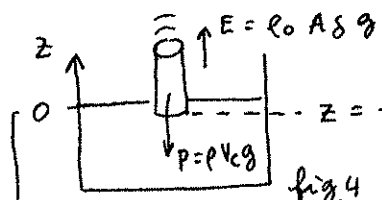


fig.4

$z=0$ : nível da água (considerado constante)

$$\rho_0 A \delta g - \rho V_c g = \rho V_c \frac{d^2 z}{dt^2} \quad (2)$$

$$\delta = -z \quad \rho_0 V \text{ por (1)}$$

$$\rho_0 V \text{ por (1)}$$

$$\text{De (2), } \frac{d^2 z}{dt^2} + \frac{A g}{V} z = -g \quad (3) \quad \left. \begin{array}{l} \text{Solução geral} \\ z = c + a \cos \omega_0 t + b \sin \omega_0 t \end{array} \right\}$$

$$\omega_0^2 = \frac{A g}{V} \Rightarrow T = 2\pi \sqrt{\frac{V}{g A}}$$

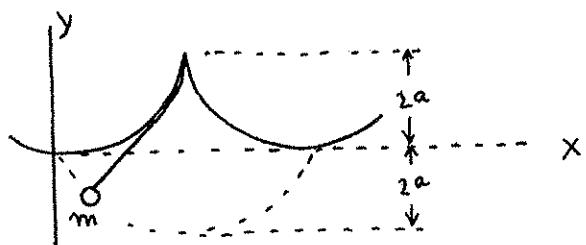
oscilações com frequência  $\omega_0$

Lembre que  $V$  não é  $V_c$ !

Calcule  $T$  com os dados.

2.7. (3.8).K

40



$l = 4a$  = comprimento do péndulo

$$\left\{ \begin{array}{l} x = a(\phi - \sin \phi) \quad (1) \\ y = a(\cos \phi - 1) \quad (2) \end{array} \right.$$

fig 1

$\phi$  é um parâmetro não representado na figura 1

$$U = mg y = mg a(\cos \phi - 1) \quad (3)$$

$$T = \frac{m}{2} [(\dot{x})^2 + (\dot{y})^2] \quad (4)$$

$$\dot{x} = a(\dot{\phi} - \cos \phi \dot{\phi}) \quad (5), \quad \dot{y} = a(-\dot{\phi} \sin \phi) \quad (6), \quad \text{por (1) e (2)}.$$

De (5) e (6),

$$\begin{aligned} \dot{x}^2 + \dot{y}^2 &= a^2 \dot{\phi}^2 (1 - 2 \cos \phi + \cos^2 \phi) + a^2 \dot{\phi}^2 \sin^2 \phi \\ &= a^2 \dot{\phi}^2 (2 - 2 \cos \phi) \quad (7) \end{aligned}$$

Levando em conta (3), (4) e (7) a energia do movimento de  $m$  é

$$E = m g a (\cos \phi - 1) + m a^2 \dot{\phi}^2 (1 - \cos \phi) \quad (8).$$

$$\frac{dE}{dt} = 0 \text{ nô dôr, por (8)},$$

$$2a \ddot{\phi} (1 - \cos \phi) + a \dot{\phi}^2 \sin \phi - g \sin \phi = 0 \quad (9).$$

Acontece que em (9) podemos usar  $\sin^2 \frac{\phi}{2} = \frac{1}{2}(1 - \cos \phi)$  e  $\sin \phi = 2 \sin \frac{\phi}{2} \cos \frac{\phi}{2}$ , com o que (9) fica

$$a \ddot{\phi} + 4 \sin \frac{\phi}{2} + 2a \dot{\phi}^2 \cos \frac{\phi}{2} - 2g \cos \frac{\phi}{2} = 0 \quad (10).$$

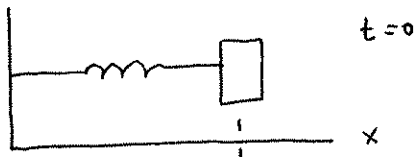
Fazendo agora em (10) a substituição  $\xi = \cos \frac{\phi}{2}$  (11)

teremos

$$\ddot{\xi} + \frac{g}{4a} \xi = 0 \quad (12),$$

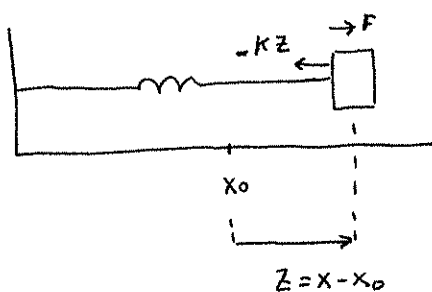
O que mostra que  $m$  oscila com  $\omega_0 = \sqrt{\frac{g}{4a}} \Rightarrow T = 2\pi \sqrt{\frac{l}{g}}$ .

2.7. (3.9).1



$x_0$  = posição de equilíbrio (e não inicial)

fig 1



$F$  é aplicada no intervalo  
 $0 \leq t \leq t_0$

$$0 \leq t \leq t_0 : m \frac{d^2 z}{dt^2} + K z = F \Rightarrow z = A \cos \omega_0 t + B \sin \omega_0 t + \frac{F}{K} \quad (1),$$

com  $\omega_0^2 = \frac{K}{m}$ .

$$\left. \begin{array}{l} \text{Se } z(t=0) = 0 \quad (2) \\ \dot{z}(t=0) = 0 \quad (3) \end{array} \right\} \text{ mostre por (1) que } A = -\frac{F}{K} \quad (4) \text{ e } B = 0.$$

$$\text{Então, para } 0 \leq t \leq t_0, \quad \left\{ \begin{array}{l} z(t) = \frac{F}{K} (1 - \cos \omega_0 t) \quad (5) \\ \dot{z} = \ddot{z}(t) = \frac{F \omega_0}{K} \sin \omega_0 t \quad (6). \end{array} \right.$$

Por (5) e (6), portanto, em  $t = t_0$ , teremos

$$z(t=t_0) = \frac{F}{K} (1 - \cos \omega_0 t_0) \quad (7) \text{ e } \dot{z}(t=t_0) = \frac{F \omega_0}{K} \sin \omega_0 t_0 \quad (8).$$

Quando  $F$  é liberada, isto é para  $t > t_0$ , ficamos

com

$$m \frac{d^2 z}{dt^2} = -K z \Rightarrow z = C \cos \omega_0 t + D \sin \omega_0 t \quad (9).$$

Aplicando as condições (7) e (8) em (9), encontre  $C$  e  $D$  e mostre que

$$x - x_0 = z = \frac{F}{K} [ \cos \omega_0 t_0 \cos \omega_0 t + \sin \omega_0 t_0 \sin \omega_0 t - \cos \omega_0 t ] = \frac{F}{K} [ \underbrace{\cos \omega_0 t_0 - \cos \omega_0 t}_{} ] = \cos \omega_0 (t - t_0) \quad (10)$$

2.7 . (3.12).1

O pêndulo sem atrito já foi considerado anteriormente.

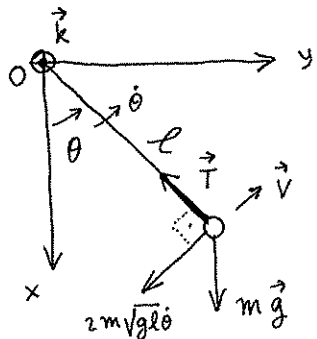


figura 1:  $\dot{\theta}$  foi escolhido para estar no sentido de  $\vec{k}$  ( $\dot{\theta} > 0$ ).

A força de atrito de intensidade

$2m\sqrt{gl}\dot{\theta}$  se opõe ao movimento, o que explica a direção e o sentido colados para essa força.

Acompanhamos a figura 1.

$$\vec{L} = ml^2 \dot{\theta} \vec{k} \quad (1)$$

$\underbrace{I}_{\text{momento de inércia}} \underbrace{\omega}_{\text{angular de } m}$  velocidade

0.

$$\text{Torques: } \left\{ \begin{array}{l} \vec{N}_p = \text{"torque do peso"} = -mg l \sin\theta \vec{k} \quad (2) \\ \vec{N}_{\text{atrito}} = -2m\sqrt{gl}\dot{\theta} l \vec{k} \quad (3) \end{array} \right.$$

Como

$$\frac{d\vec{L}}{dt} = \vec{N}_p + \vec{N}_{\text{atrito}} \quad (4)$$

temos, por (1), (2) e (3),

$$\frac{d}{dt}(ml^2 \dot{\theta} \vec{k}) = -mg l \sin\theta \vec{k} - 2m\sqrt{gl}\dot{\theta} l \vec{k}$$

ou, "desenvolvendo em relação ao tempo e contando os  $\vec{k}$ ",  $ml^2\ddot{\theta} = -mg l \sin\theta - 2m\sqrt{gl}\dot{\theta} + \dot{\theta}$  (5).

Se  $\theta$  é sempre pequeno aproximamos  $\sin\theta$  por  $\sin\theta = \theta$ , até a ordem  $O(\theta^3)$ , com o que (5) fica

$$\ddot{\theta} + \frac{g}{l}\theta - 2\frac{\sqrt{gl}}{l}\dot{\theta} = 0 \Rightarrow \ddot{\theta} + 2\frac{\sqrt{gl}}{l}\dot{\theta} + \frac{g}{l}\theta = 0 \quad (6).$$

Mostre que, se  $\theta = e^{\beta t}$ , o amortecimento será crítico com  $\theta(t) = A e^{-\beta t} + B t e^{-\beta t}$ .

2.8. (5.2).1

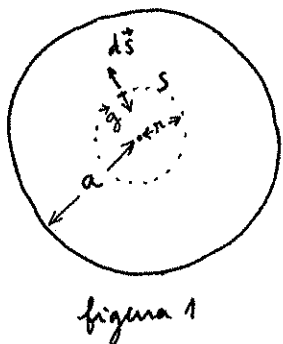


figura 1

Acompanhando a figura ao lado. Usaremos

$$\left\{ \begin{array}{l} \int_S \vec{g} \cdot d\vec{S} = -4\pi G M \\ \text{massa interna à superfície} \end{array} \right. \quad \left. \begin{array}{l} \text{Lei de Gauss da Gravitação} \\ S \end{array} \right\}$$

$$\int_S \vec{g} \cdot d\vec{S} = -g(r) 4\pi r^2 \text{ por simetria radial (2).}$$

$$M = \int_0^r \rho(r') 4\pi r'^2 dr' \quad (3) \quad (\text{ver figura 2}).$$

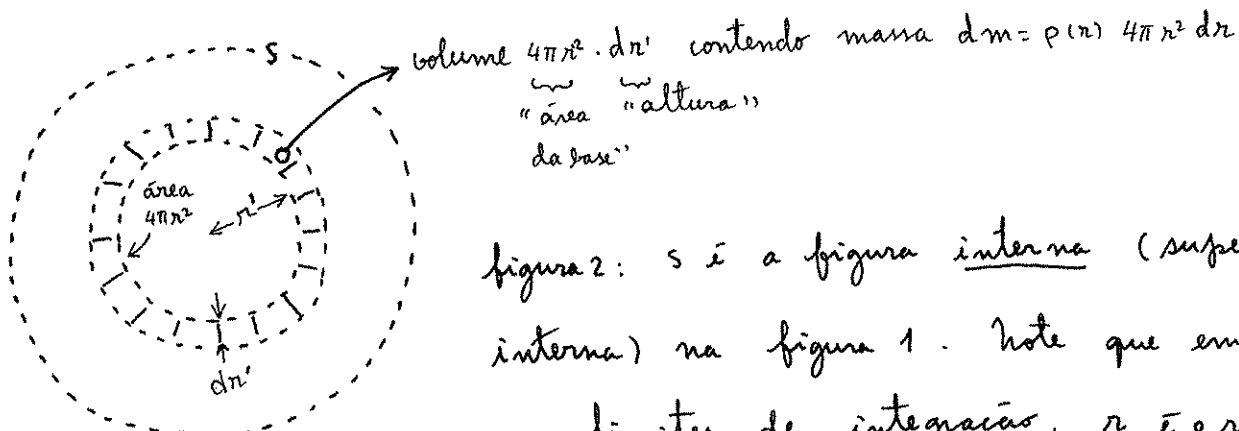


figura 2:  $S$  é a figura interna (superfície interna) na figura 1. Note que em (3), nos limites de integração,  $r$  é o raio interno a  $S$ , enquanto que no integrando em (3) e nessa figura  $r'$  é o raio de uma cara interna a  $S$ .

(Colocando (3) e (2) em (1) temos)

$$-g(r) 4\pi r^2 = -4\pi G \int_0^r \rho(r') 4\pi r'^2 dr' \Rightarrow g(r) r^2 = 4\pi G \int_0^r \rho(r') r'^2 dr' \quad (4)$$

(4) é uma equação integral para a função  $\rho(r)$  se  $g(r)$  é conhecida. Derivando (4) em relação a  $r$  temos

$$\frac{dg(r)}{dr} r^2 + 2g(r)r = 4\pi G \rho(r) r^2 \quad (5).$$

2.8 (5.2).2

Se, por imponção do enunciado,  $\frac{dg(r)}{dr} = 0$  ( $g$  constante), temos

$$2g(r)r = 4\pi G \rho(r)r^2 \Rightarrow \rho(r) = \frac{g}{2\pi G} \frac{1}{r} \quad (6).$$

Note que a massa  $M$  do corpo será

$$\begin{aligned} M &= \int_0^a \rho(r) 4\pi r^2 dr = \frac{4\pi g}{2\pi G} \int_0^a \frac{1}{r} r^2 dr \\ &= \frac{2g}{G} \frac{a^2}{2} = \frac{ga^2}{G} \quad (7). \end{aligned}$$

Com a relação (7), (6) fica

$$\rho(r) = \frac{\frac{gM}{a^2}}{2\pi G} \frac{1}{r} = \frac{M}{2\pi a^2} \frac{1}{r} \quad (8)$$

Situação inicial  $\rightarrow$

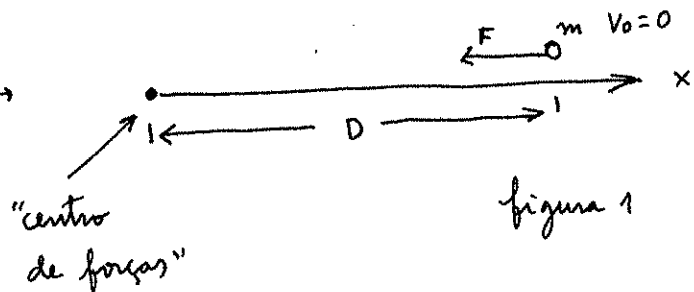


figura 1

$$m \frac{d^2x}{dt^2} = F = -\frac{mk^2}{x^3} \Rightarrow \frac{dV}{dt} = \frac{dv}{dx} \frac{dx}{dt} = \frac{dv}{dt} V = -\frac{mk^2}{x^3} \Rightarrow$$

$$v dv = -\frac{k^2 dx}{x^3} \Rightarrow \frac{v^2}{2} = -\frac{k^2 x^{-3+1}}{-3+1} + C \Rightarrow v^2 = \frac{k^2}{x^2} + C' \quad (1).$$

$\uparrow$   
 $C' = 2C$

Dada a situação inicial temos, por (1),  $0 = \frac{k^2}{D^2} + C' \Rightarrow$

$$C' = -\frac{k^2}{D^2} \quad (3).$$

$$v^2 = k^2 \left( \frac{1}{x^2} - \frac{1}{D^2} \right) = k^2 \left( \frac{D^2 - x^2}{D^2 x^2} \right) \quad (4).$$

A regra correta em (4) é

$$v = -k \sqrt{\frac{D^2 - x^2}{D^2 x^2}} \quad (5),$$

porque  $m$  está indo no sentido do centro de forças (figura 1), contrário portanto ao sentido de  $x$  crescente.

De (5) temos

$$\frac{dx}{dt} = -k \sqrt{\frac{D^2 - x^2}{D^2 x^2}} \Rightarrow \frac{dx}{\sqrt{\frac{D^2 - x^2}{D^2 x^2}}} = -k dt \quad (6).$$

Se  $x = D$  em  $t = 0$  e  $x = 0$  em  $t = T$  = tempo para  $m$  chegar à origem, temos

$$\int_D^0 \frac{dx}{\sqrt{D^2 - x^2}} = -k \int_0^T dt \Rightarrow T = \frac{1}{k} \int_0^D \frac{dx}{\sqrt{D^2 - x^2}} \quad (7).$$

Como  $\int \frac{dx}{\sqrt{D^2 - x^2}} dx = -D \sqrt{D^2 - x^2}$  temos, por (7),

$$T = \frac{1}{k} \left[ -D \sqrt{D^2 - D^2} + D \sqrt{D^2} \right] = \frac{D^2}{k} \quad (8).$$

2.8.(5.8).1

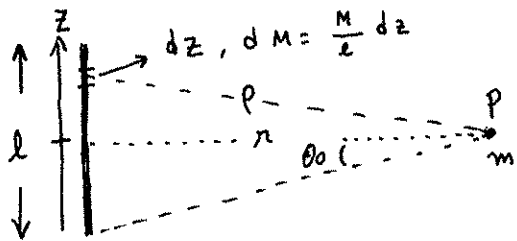


figura 1: pede-se o potencial gravitacional  $\phi$  da barra em P

Potencial em P devido ao segmento  $dz$  na barra de comprimento  $l$  e massa  $M$ :

$$d\phi = \frac{dU}{m} = - \frac{G \frac{dm}{l} m}{r};$$

$$d\phi = - \frac{GM}{l} \frac{dz}{r} \quad (1).$$

Como  $r = \sqrt{r^2 + z^2}$  temos

$$d\phi = - \frac{GM}{l} \frac{dz}{\sqrt{r^2 + z^2}} \quad \therefore$$

$$\phi = - \frac{GM}{l} \int_{-\frac{l}{2}}^{\frac{l}{2}} \frac{dz}{\sqrt{r^2 + z^2}} = - \frac{GM}{l} \left\{ \ln \left( \frac{l}{2r} + \sqrt{\frac{l^2}{4r^2} - 1} \right) - \ln \left( -\frac{l}{2r} + \sqrt{\frac{l^2}{4r^2} - 1} \right) \right\} \quad (2),$$

porque

$$\int \frac{dz}{\sqrt{r^2 + z^2}} = \ln \left( \frac{z}{r} + \sqrt{\frac{z^2}{r^2} - 1} \right).$$

2.8.(5-14).1

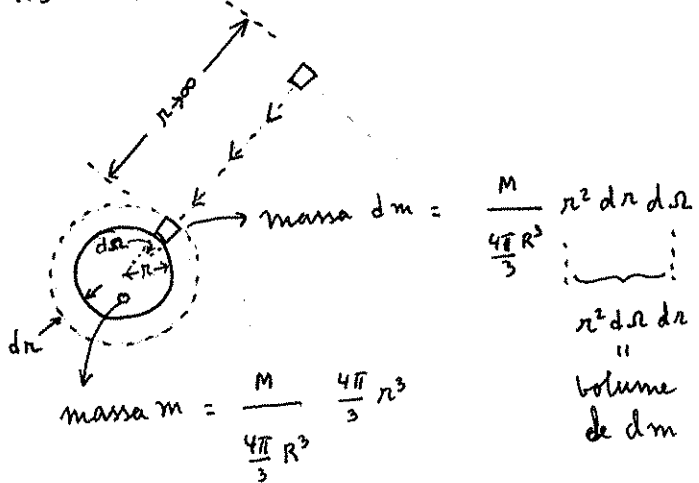


figura 1 :  $M$  é a massa final do corpo, que terá raio  $r = R$ .

na figura 1 estamos acrescentando à massa  $m$  "pedacos" de massa  $dm$  trazidos de " $r \rightarrow \infty$ ". Cada massa  $dm$  "inclui" em  $m$  a energia  $dU = -\frac{Gm dm}{r}$  (1).

$$U = \int dU = \int_{r=0}^R -\frac{Gm dm}{r} = -G \iint_{r=0}^R \frac{M}{\frac{4\pi R^3}{3}} \frac{M}{\frac{4\pi R^3}{3}} r^2 dr dr$$

$$= -\frac{3}{5} \frac{GM^2}{R}$$

$\int dr = 4\pi$

2.9. (12.3).1

$$\left. \begin{array}{l} \ddot{x}_1 + \frac{m}{M} \ddot{x}_2 + \omega_0^2 x_1 = 0 \quad (1) \\ \ddot{x}_2 + \frac{m}{M} \ddot{x}_1 + \omega_0^2 x_2 = 0 \quad (2) \\ \frac{m}{M} = \alpha^2 \text{ (definição)} \end{array} \right\}$$

Pedem-se os modos normais: oscilações de mesma frequência  $\omega$  e amplitudes (e fases) possivelmente diferentes.

OU seja: pedem-se soluções do tipo  $x_1 = A e^{i\omega t}$  (3) e  $x_2 = B e^{i\omega t}$  (4).

(3) e (4) em (1) e (2):

$$\left. \begin{array}{l} -A\omega^2 - \alpha^2 B \omega^2 + \omega_0^2 A = 0 \quad (1') \\ -B\omega^2 - \alpha^2 A \omega^2 + \omega_0^2 B = 0 \quad (2') \end{array} \right\} \Rightarrow \begin{array}{l} A(\omega_0^2 - \omega^2) - B\alpha^2 \omega^2 = 0 \quad (5) \\ -A\alpha^2 \omega^2 + B(\omega_0^2 - \omega^2) = 0 \quad (6) \end{array}$$

A solução para (5) e (6) é trivial ( $A = B = 0$ ) a menos que

$$\left| \begin{array}{cc} \omega_0^2 - \omega^2 & -\alpha^2 \omega^2 \\ -\alpha^2 \omega^2 & \omega_0^2 - \omega^2 \end{array} \right| = 0 \Rightarrow \omega^2 = \omega_0^2 (1 \pm \alpha^2) \quad (7)$$

Então há dois modos.

1º modo:  $\omega = \omega_0 \sqrt{1+\alpha^2} = \omega_1$  ( $\omega_1^2 = \omega^2 = \omega_0^2 (1+\alpha^2)$ ). Para (5) essa

condição nos dá  $B = -\frac{A}{\alpha^2+1}$  (8) e oscilações

$$x_1 = A e^{i\omega_1 t} \quad (9)$$

$$x_2 = B e^{i\omega_1 t} = -\frac{A}{\alpha^2+1} e^{i\omega_1 t} = \frac{A}{\alpha^2+1} e^{i(\omega_1 t + \pi)} \quad (10)$$

$e^{i\pi} = \cos \pi + i \sin \pi$

$$= -1 + i \cdot 0 = -1$$

Vemos que no primeiro modo  $x_1$  e  $x_2$  oscilam fora de fase em  $180^\circ$  com amplitudes distintas.

2º modo:  $\omega = \omega_0 \sqrt{1-\alpha^2} = \omega_2$  ( $\omega_2^2 = \omega^2 = \omega_0^2 (1-\alpha^2)$ ). Para (5) essa condição nos dá  $B = \frac{A}{1-\alpha^2}$  (11). Como  $\alpha^2 < 1$ , temos oscilações

$$x_1 = A e^{i\omega_2 t} \quad (12)$$

$$x_2 = B e^{i\omega_2 t} = \frac{A}{1-\alpha^2} e^{i\omega_2 t} \quad (13)$$

em que  $x_1$  e  $x_2$  têm amplitudes distintas e mesma fase.

Nota: A solução geral é

$$x_1 = a e^{i\omega_1 t} + b e^{-i\omega_1 t} + c e^{i\omega_2 t} + d e^{-i\omega_2 t},$$

$$x_2 = -\frac{a}{\alpha^2+1} e^{i\omega_1 t} - \frac{b}{\alpha^2+1} e^{-i\omega_1 t} + \frac{c}{1-\alpha^2} e^{i\omega_2 t} + \frac{d}{1-\alpha^2} e^{-i\omega_2 t}.$$

2.9. (12.12).1

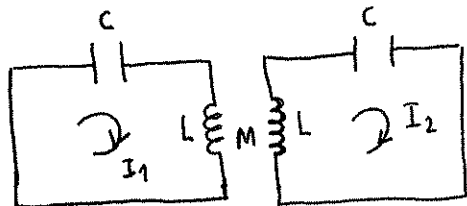


figura 1

$$L \dot{I}_1 + \frac{q_1}{C} + M \dot{I}_2 = 0 \quad (1)$$

$$L \dot{I}_2 + \frac{q_2}{C} + M \dot{I}_1 = 0 \quad (2)$$

Derivando (1) e (2) em relação ao tempo com  $\dot{q}_1 = I_1$  e

$\dot{q}_2 = I_2$  temos

$$\left. \begin{aligned} \dot{I}_1 + \frac{q_1}{LC} + \frac{M}{L} \dot{I}_2 &= 0, \\ \dot{I}_2 + \frac{q_2}{LC} + \frac{M}{L} \dot{I}_1 &= 0. \end{aligned} \right\} \quad \left. \begin{aligned} \ddot{I}_1 + \frac{1}{LC} I_1 + \frac{M}{L} \ddot{I}_2 &= 0 \quad (3), \\ \ddot{I}_2 + \frac{1}{LC} I_2 + \frac{M}{L} \ddot{I}_1 &= 0 \quad (4). \end{aligned} \right.$$

Se  $\omega_0^2 = \frac{1}{LC}$  e  $\alpha^2 = \frac{M}{L}$ , (3) e (4) ficam

$$\left. \begin{aligned} \ddot{I}_1 + \alpha^2 \ddot{I}_2 + \omega_0^2 I_1 &= 0 \quad (5) \\ \text{e } \ddot{I}_2 + \alpha^2 \ddot{I}_1 + \omega_0^2 I_2 &= 0 \quad (6) \end{aligned} \right\} \quad \begin{array}{l} \text{que são formalmente idênticas} \\ \text{à questão 8 dessa lista,} \\ \text{problema 12.3 de TM.} \end{array}$$

Faça a análise como  
lá, trocando  $x_1$  por  $I_1$   
e  $x_2$  por  $I_2$ .